

# Projet Magmap : cartographie magnétique d'un environnement terrestre et sous-marin

U.E 5.4 : Architecture Robotique

Encadrant : M. Luc JAULIN



# SOMMAIRE

Introduction

Le magnétomètre

Prise en main et contrôle des robots

Simulation

Génération de trajectoires

Post-processing des données

Résultats

Conclusion

Démonstration du robot Saturne

## Introduction

➤ **Objectif :**

**Construire** de manière **autonome** une **carte magnétique**.

➤ **Deux environnements :**



**Sous-marin**



**Terrestre**

**19** Élèves-ingénieurs en voie d'approfondissement robotique autonome.

➤ **Intérêts :**

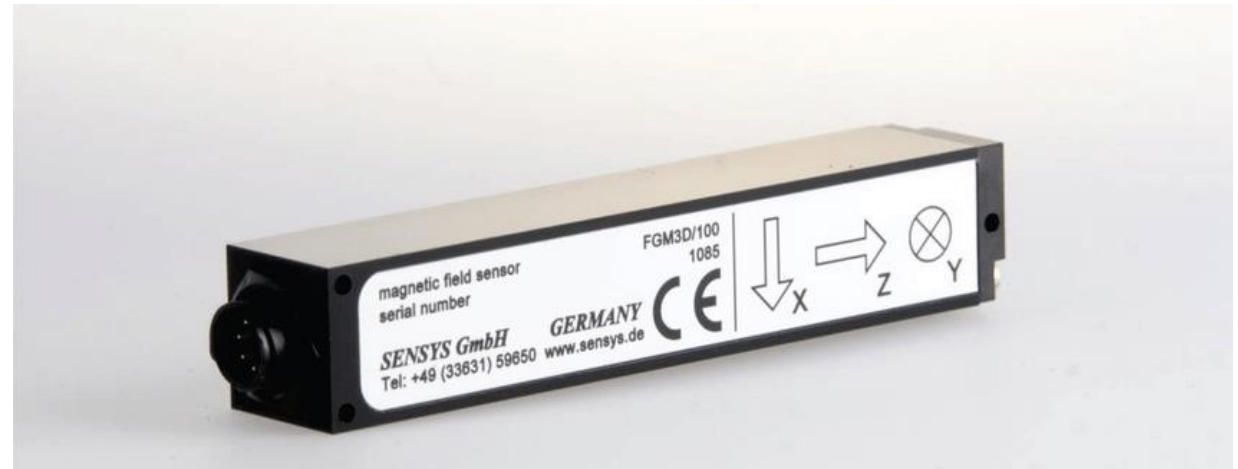
- Détection d'objets cachés ;
- Recherche d'épaves (Cordelière, ...) ;
- Guerre des mines ;
- Etc.

# Le magnétomètre

## Magnétomètre : théorie

### Présentation du magnétomètre utilisé

- Capteur de champ magnétique (Tesla)
  - aimantation
  - valeur du champ magnétique
- Magnétomètre : champ < 1 mT
- Tri-axial : mesure selon les trois axes
- Technologie fluxgate :
  - Grande sensibilité ( ~ 10 pT )
  - Faible consommation (3W)
  - Petite taille
  - Plage de mesure limitée ( $\pm 150 \mu\text{T}$ )
  - Bande-passante limitée



*Le Sensys FGM3D 100 utilisé pour MagMap*

# Magnétomètre : théorie

## Principe physique du magnétomètre fluxgate

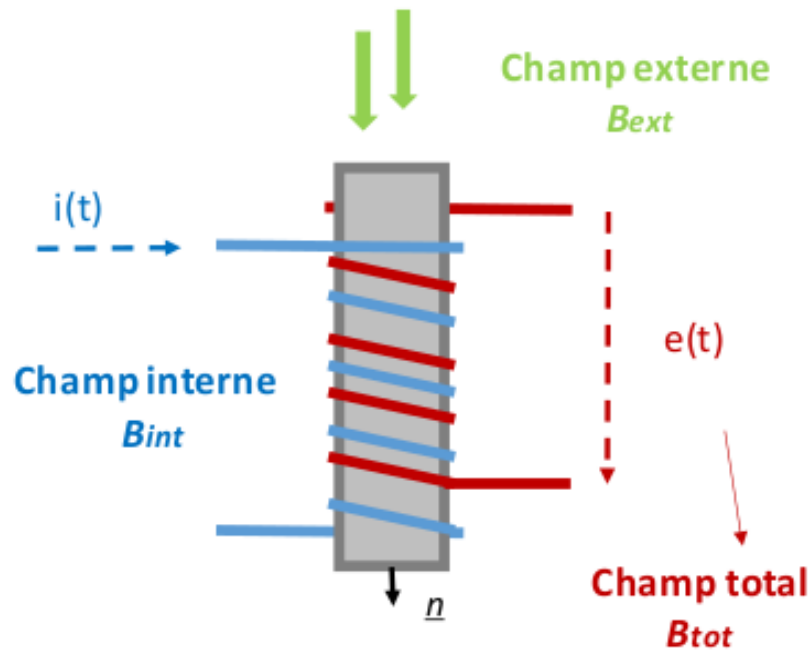


Schéma Fluxgate pour un axe

Loi de Faraday : 
$$e(t) = -\frac{d\phi(t)}{dt}$$

$\Phi$  : flux magnétique  
 $e$  : force électromotrice induite

Or : 
$$\phi(t) = \iint_s \vec{B}_{tot}(t) \cdot \vec{n} dS = nSB_{tot\perp}(t)$$

$n$  : nombre de spires  
 $S$  : surface d'une spire

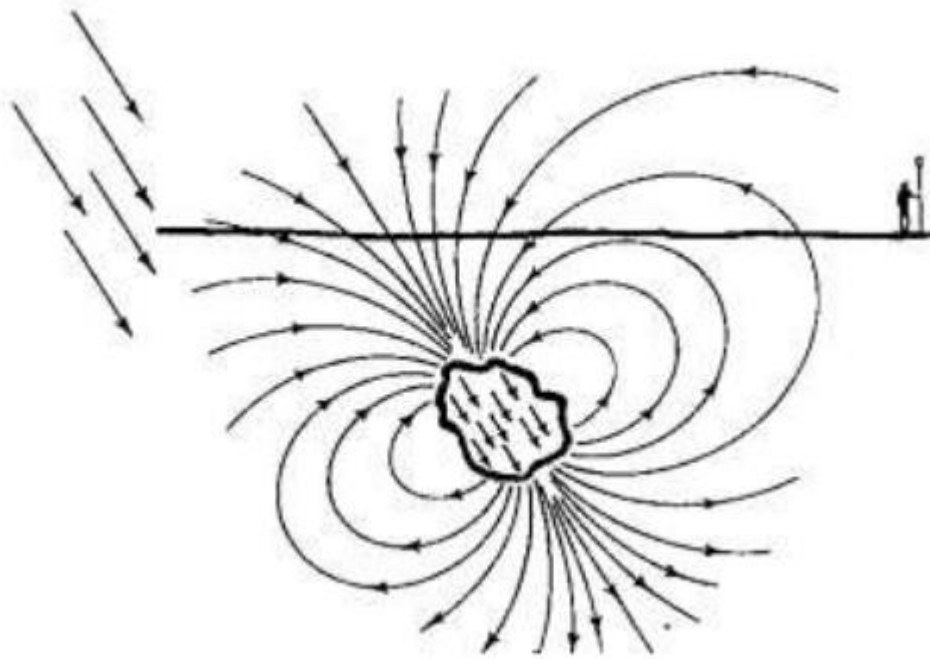
D'où : 
$$e(t) = -\frac{dnSB_{tot\perp}(t)}{dt} = -nS\frac{dB_{tot\perp}(t)}{dt}$$

$$\Leftrightarrow B_{tot\perp} = \frac{1}{nS} \int_{t_0}^{t_f} e(t) dt$$

$$\Leftrightarrow B_{ext\perp} = \frac{1}{nS} \int_{t_0}^{t_f} e(t) dt - B_{int\perp}$$

## Utilisation d'un magnétomètre

### Détection d'objets sous-terrain



Champ Magnétique Emis par un objet

Aimantation d'un objet:

$$\vec{M} = \vec{M}_{permanent} + K_{eff} * \vec{H}_{Terre}$$

Induction magnétique perçue en un point:

$$\vec{B} = \frac{\mu_0}{4\pi} \left[ 3 \frac{\vec{M} \cdot \vec{r}}{r^5} \vec{r} - \frac{\vec{M}}{r^3} \right]$$

## Utilisation d'un magnétomètre

### Détection d'objets sous-terrain



Anomalie détectée par le magnétomètre

Vérification empirique de la détectabilité:

$$|\vec{M}| = K \times Poids \quad \text{Avec } K = 0.1 \text{ Am}^2/\text{kg}$$

$$|\vec{B}| = 100 \frac{M}{r^3}$$

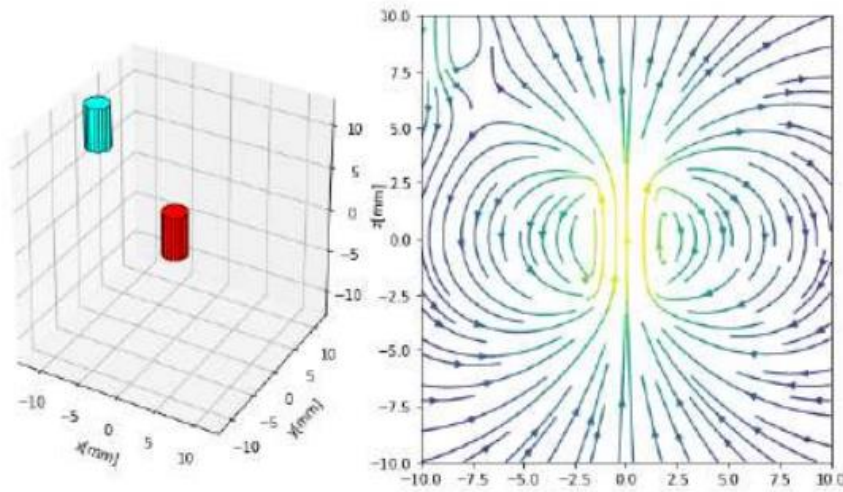
Pour un objet en acier de 100g à 30 cm de profondeur : on obtient comme valeurs:

$M = 0.01 \text{ Am}^2$  et  $B = 37\text{nT}$

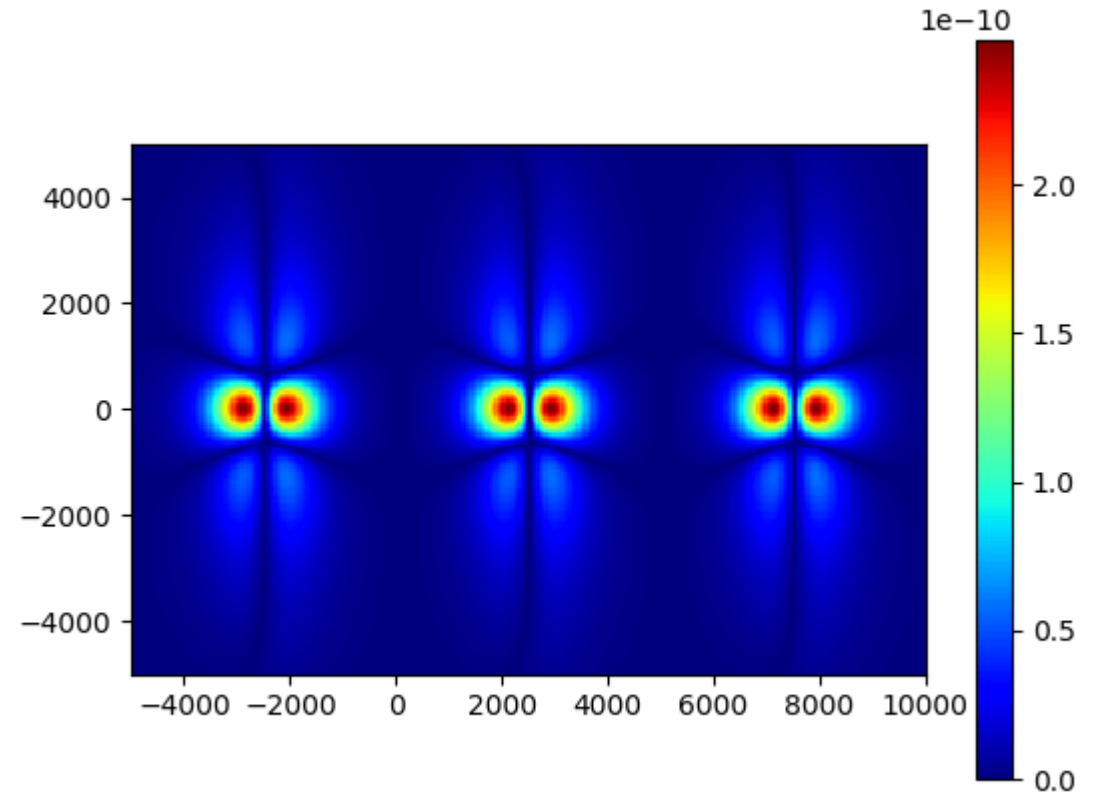
->Théoriquement, l'objet est détectable par notre magnétomètre

# Utilisation d'un magnétomètre

## Simulation du magnétomètre



Configuration de la simulation

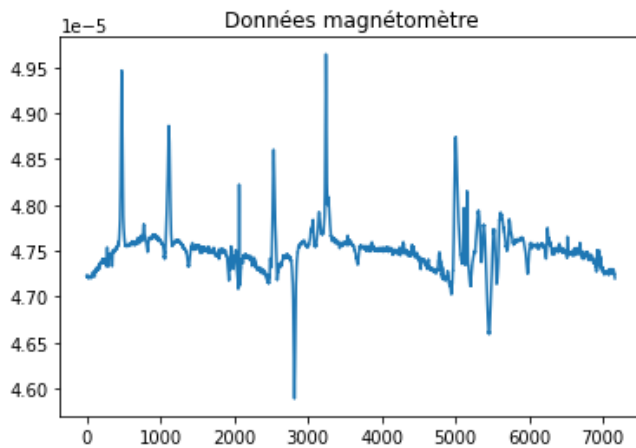


Détection de trois cylindres

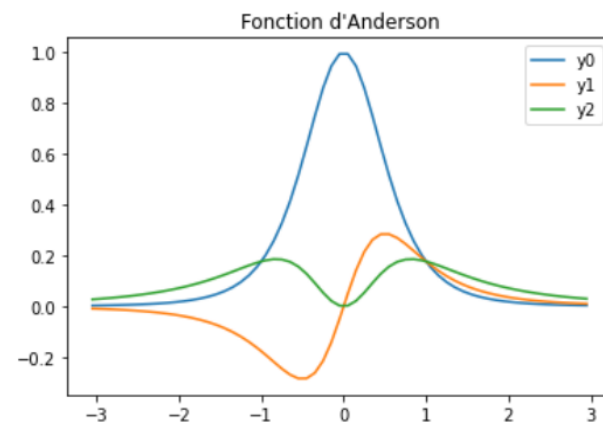
# Magnétomètre : théorie

## Filtre avec les fonctions d'Anderson

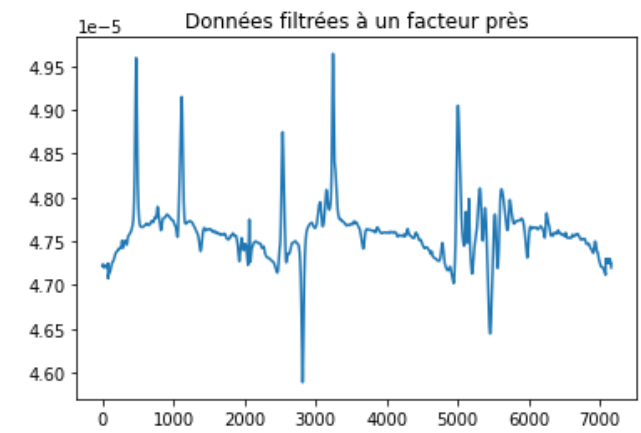
- Fonctions d'Anderson :  $y_0(x) = \frac{1}{(1+x^2)^{5/2}}$        $y_1(x) = \frac{x}{(1+x^2)^{5/2}}$        $y_2(x) = \frac{x^2}{(1+x^2)^{5/2}}$
- Filtre d'Anderson :



*Données brutes du magnétomètre*



*Corrélation croisée avec les fonctions d'Anderson*



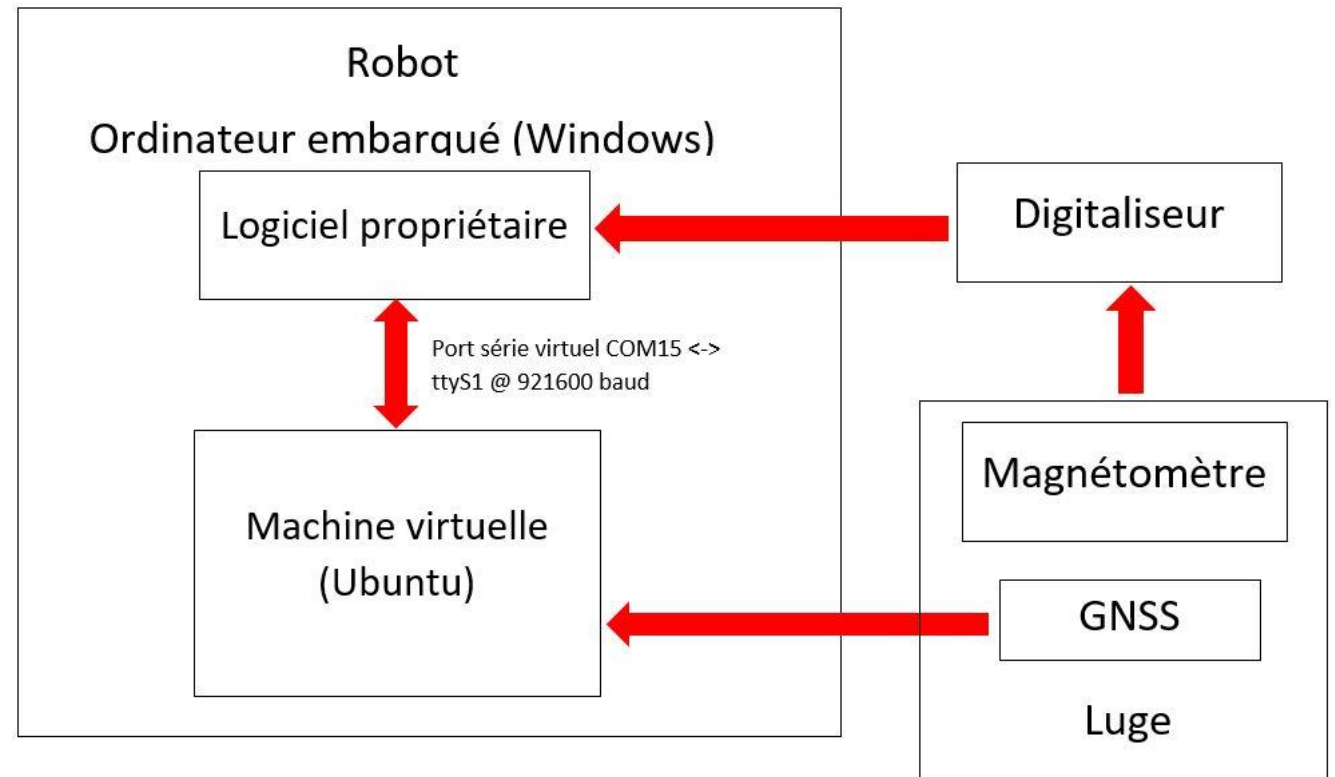
*Signal reconstruit à partir des données théoriques*

- Hypothèses non vérifiées en pratique ....

## Magnétomètre : pratique

### Connexion et récupération des données

- Utilisation du logiciel propriétaire FGM3D TD Application
- Synchronisation avec un récepteur GNSS



## Magnétomètre : pratique

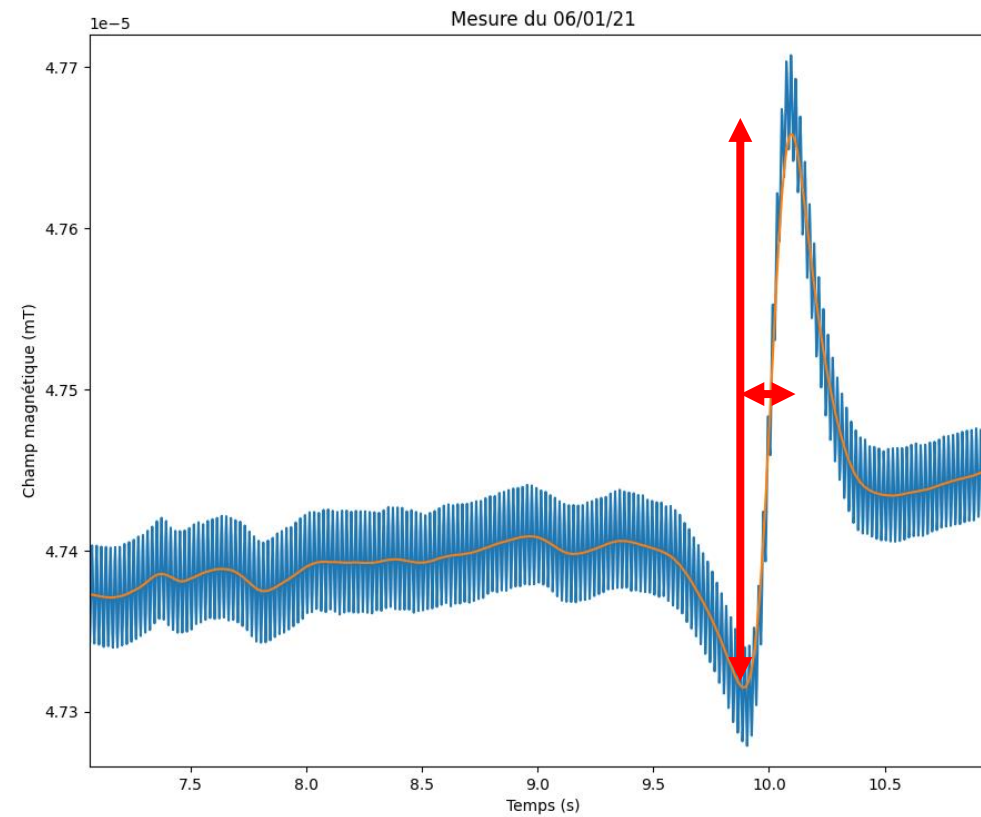
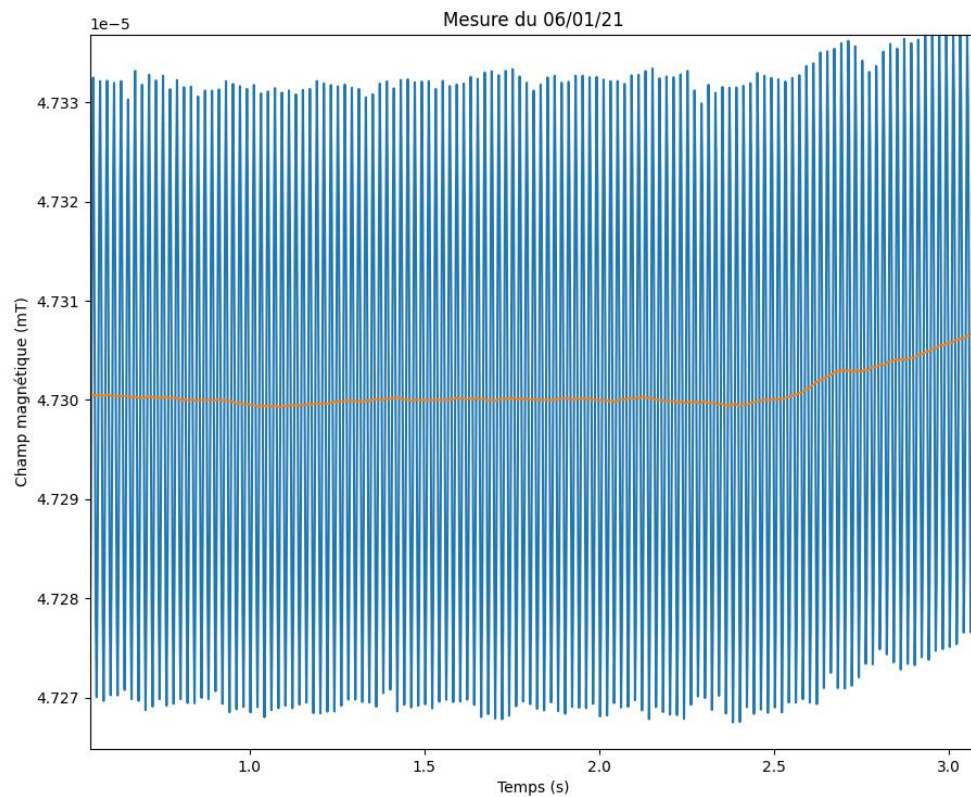
### Montage sur le robot Saturne

- Montage du magnétomètre sur une luge
- Importance de la longueur de la corde
- Usage d'un poids



# Magnétomètre : pratique

## Traitement des données

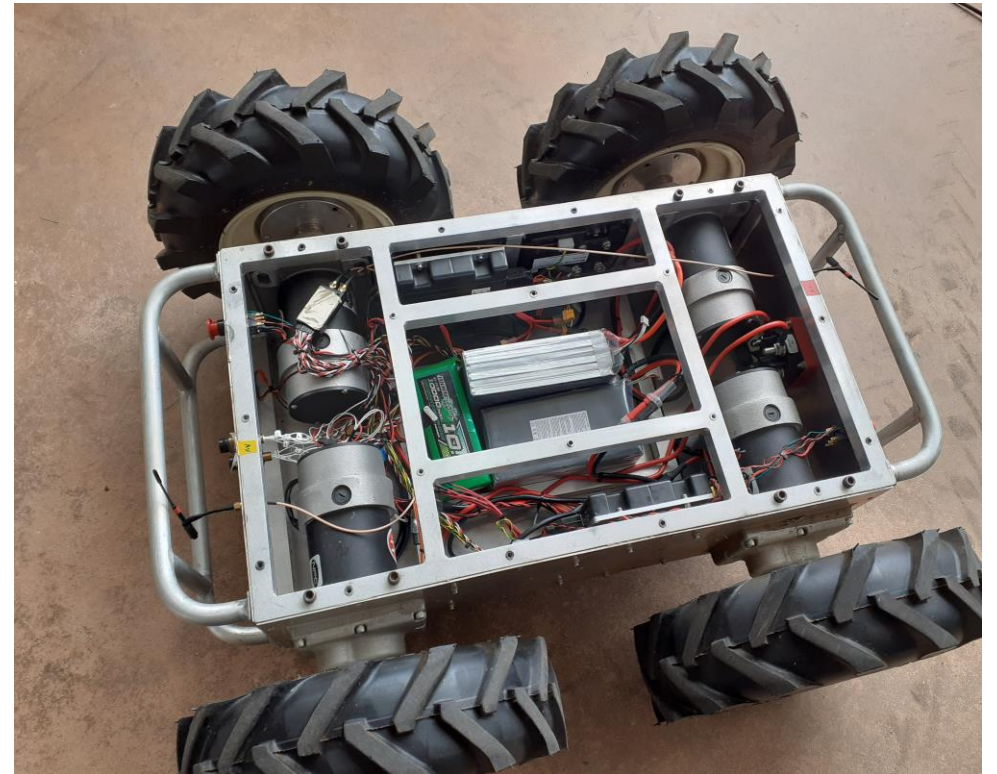




# Prise en main des robots : Saturne

## Présentation de Saturne :

- Fabriqué en grande partie à l'ENSTA Bretagne
- Composé de 2 parties indépendantes
- Etanche à la pluie (en principe)



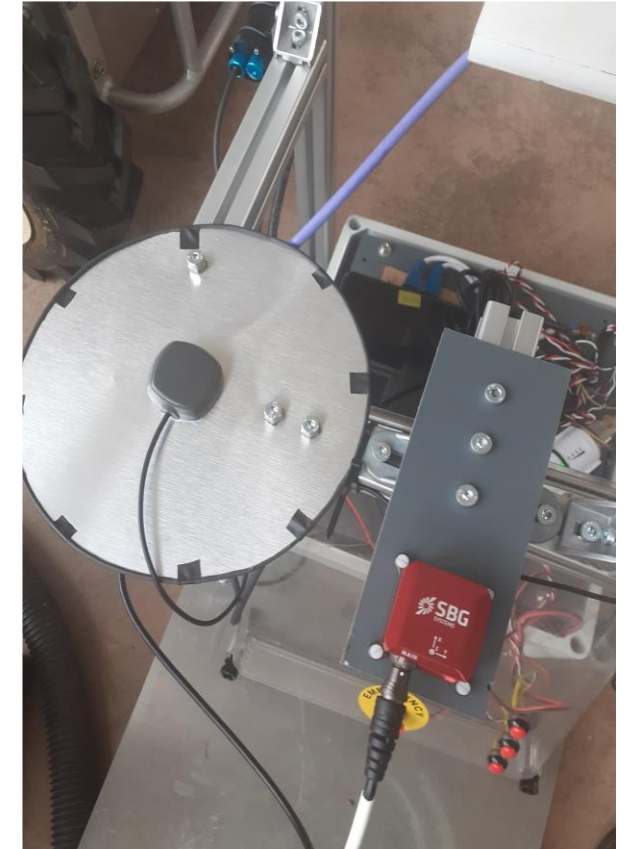
## Moteurs, batteries et sécurité :

- 4 moteurs indépendants (500W chacun)
- 3 Batteries LiPo 6S (3 heures de mission)
- Trois arrêts d'urgence
- La télécommande prioritaire



## Capteurs et électronique embarquée :

- GNSS compatible RTK
- Cartes de commande : mesure de tension et d'intensité
- Intel Nuc (S.E Ubuntu 18.04)
- LiDAR Velodyne Puck Lite
- Caméra IP



## Prise en main de Saturne

### Architecture logicielle

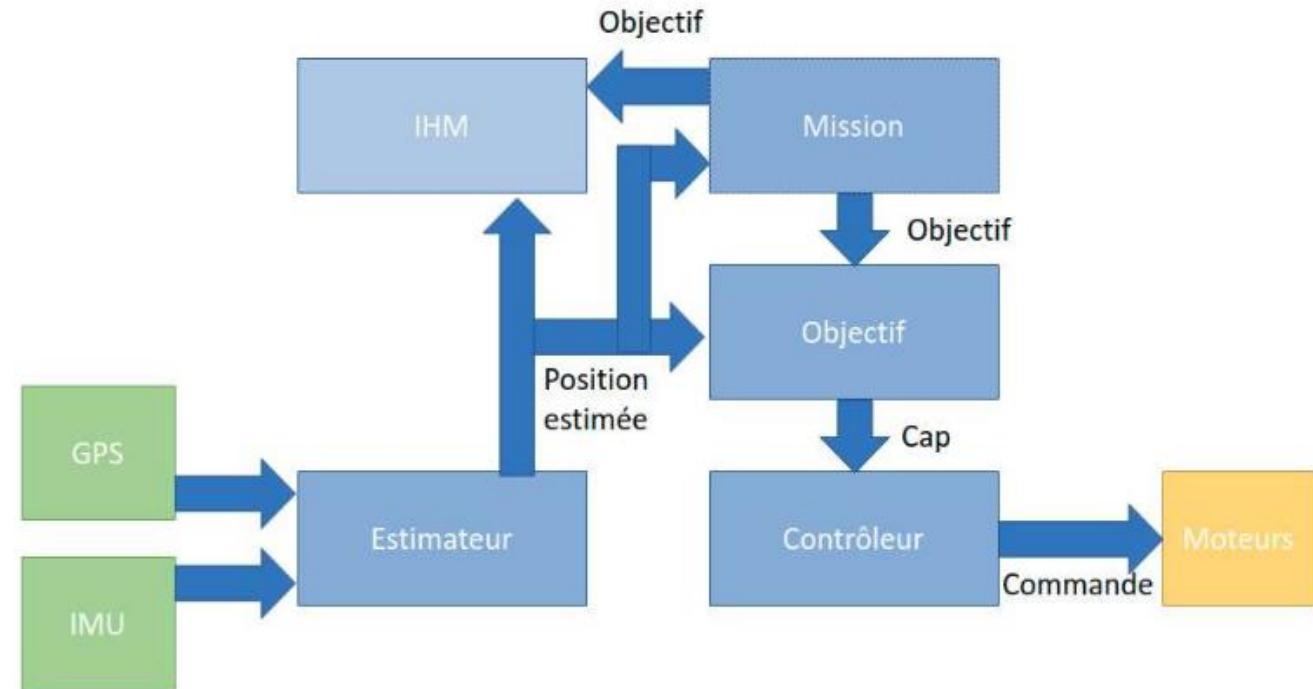
- Middleware → communication entre programmes informatiques
- ROS utilisé dans ce projet
- ROS = ensemble d'outils permettant le développement de logiciels pour la robotique
  
- Avantages ROS
  - Faciliter le travail collaboratif
  - Outil de visualisation, de simulation et de rejeu (rviz, gazebo ... )
  - Dispose d'une grande communauté



# Prise en main de Saturne

## Architecture logicielle

- Architecture ROS
- Niveau Hardware
  - Lecture GPS et IMU
  - Contrôle bas niveau
- Niveau observateur
  - Fusion des données
  - Estimation de la position
- Niveau commande
  - Pour une mission élémentaire
  - Calcule du cap à suivre
- Niveau de la supervision
  - A partir d'un fichier texte
  - Gère les missions élémentaires
- IHM





# Prise en main des robots : Riptide

# Riptide

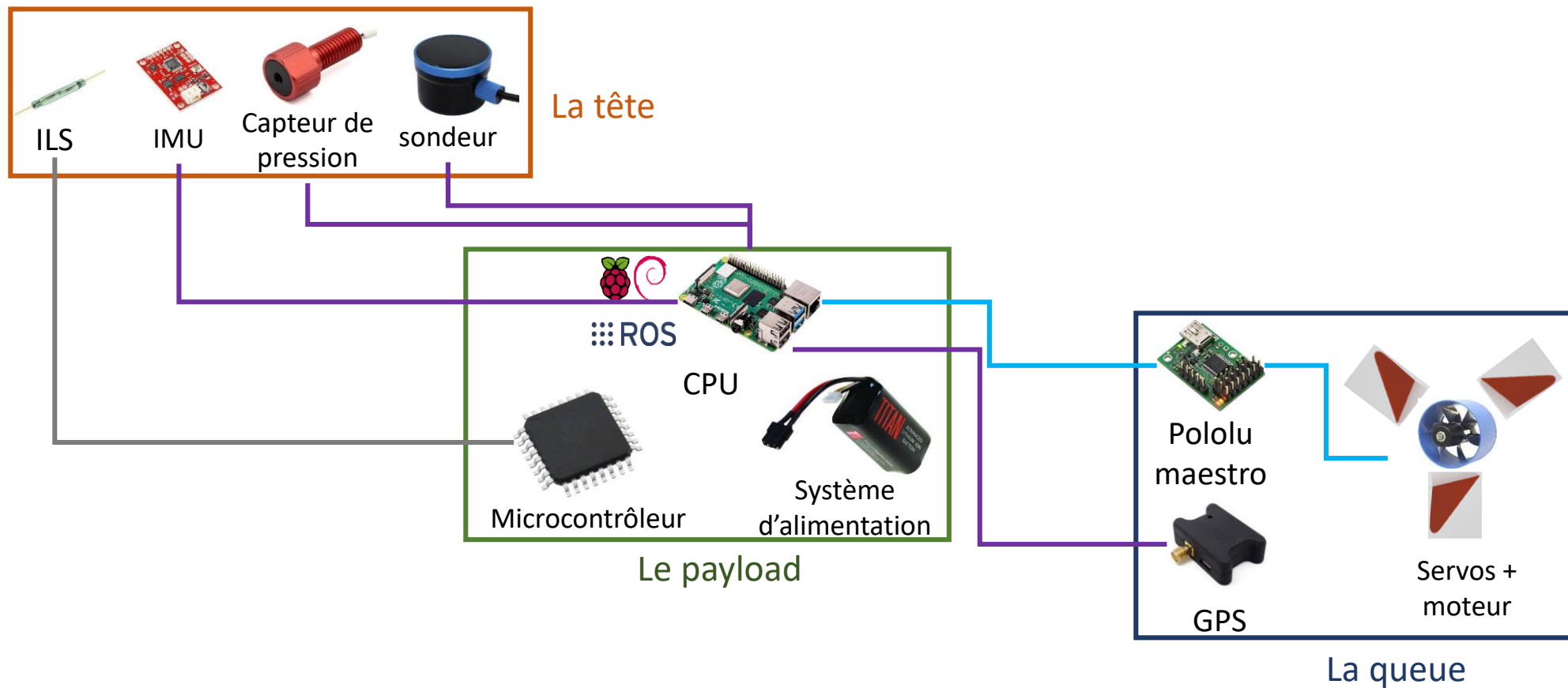
## Prise en main

- Robot de Riptide Autonomous Solutions (racheté par BAE Systems en 2019) ;
- Modèle utilisé dans le projet : **MKII microUUV** ;
- Trois parties :
  - La tête : **capteurs de navigation** ;
  - Le payload : **alimentation + CPU** ;
  - La queue : **actionneurs + antenne**.
- **Inconvénients** : architecture et protocoles de communication propriétaire.
- **Travail effectué** :
  - Nouvelle architecture matérielle ;
  - Intégration nouveaux capteurs (GPS + capteur de pression) ;
  - Système d'interruption magnétique ;
  - Développement des drivers.



# Riptide

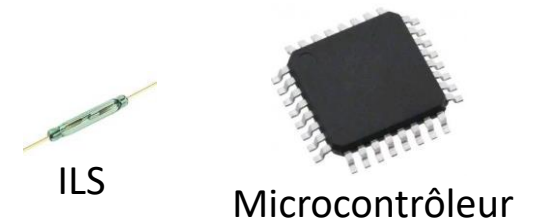
## Architecture matérielle



# Riptide

## Architecture matérielle

- **Système d'interruption magnétique :**
  - ILS (interrupteur à lames souples) et microcontrôleur PIC contrôlant un MOSFET ;
  
- **Télé-opération à distance :**
  - Multiplexage PWM et mixage des voies pour contrôler le robot à la télécommande ;
  - Arduino pour décoder le signal PPM et le mixer





# Riptide

## Architecture matérielle

### ➤ Préparation aux missions :

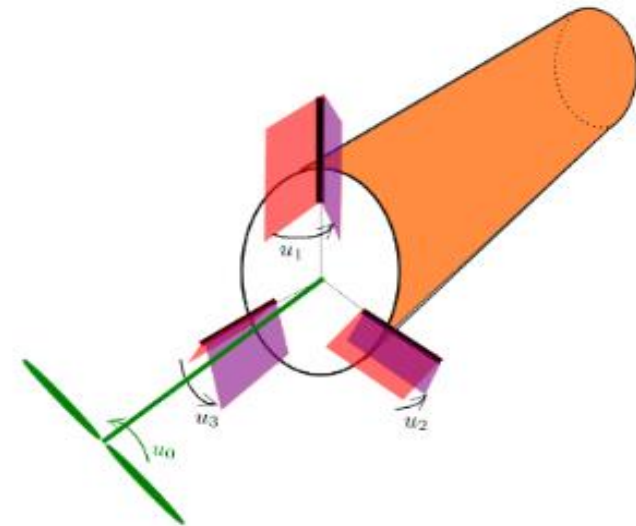
- Configuration ssh ;
- Configuration wifi ;
- Installation et adaptation des drivers ;
- Test des systèmes en simultané.



## Riptide : contrôle

### Equations

$$\begin{cases} \dot{p} = R(\varphi, \theta, \psi) \cdot v_r \\ \dot{v}_r = a_r - w_r \wedge v_r \\ \begin{pmatrix} \dot{\varphi} \\ \dot{\theta} \\ \dot{\psi} \end{pmatrix} = \begin{pmatrix} 1 & \tan \theta \sin \varphi & \tan \theta \cos \varphi \\ 0 & \cos \varphi & -\sin \varphi \\ 0 & \frac{\sin \varphi}{\cos \theta} & \frac{\sin \varphi}{\cos \theta} \end{pmatrix} \cdot W_r \end{cases}$$



## Riptide : contrôle

### Equations

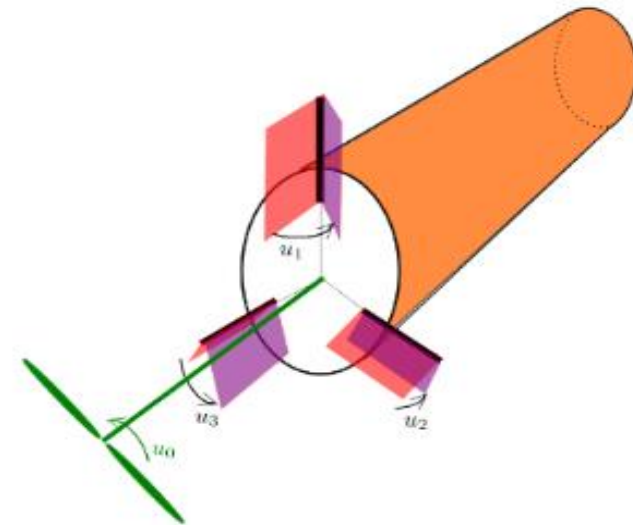
$$F_{pa} = \gamma \cdot v \cdot \sin u \cdot a \vec{x}$$

- $F$  la force exercée sur l'ailerons
- $u$  l'angle d'inclinaison de l'aileron

$$\begin{bmatrix} \omega_x \\ \omega_y \\ \omega_z \end{bmatrix} = v \cdot B \cdot \begin{bmatrix} u_1 \\ u_2 \\ u_3 \end{bmatrix}$$

avec  $B =$

$$\begin{pmatrix} p_3 & 0 & 0 \\ 0 & p_4 & 0 \\ 0 & 0 & p_4 \end{pmatrix} \cdot \begin{pmatrix} -1 & -1 & -1 \\ 0 & \sin(2\pi/3) & -\sin(2\pi/3) \\ 1 & \cos(2\pi/3) & -\cos(2\pi/3) \end{pmatrix}$$



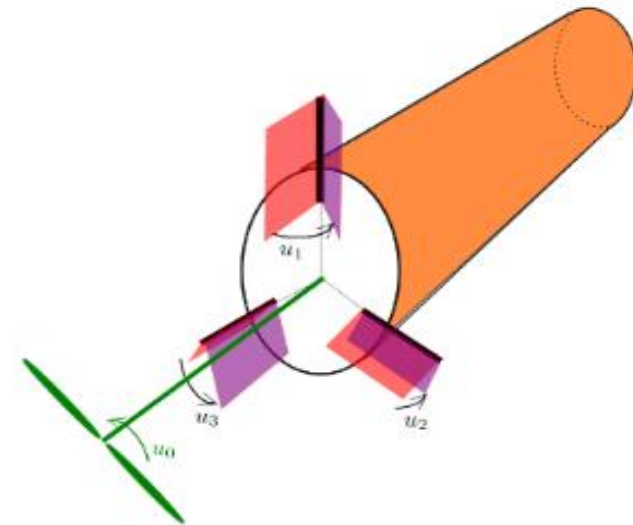
## Riptide : contrôle

### Equations

$$(m + m_a) \cdot a = \alpha \cdot u_0 \cdot |u_0| - \beta \cdot v_x \cdot |v_x|$$

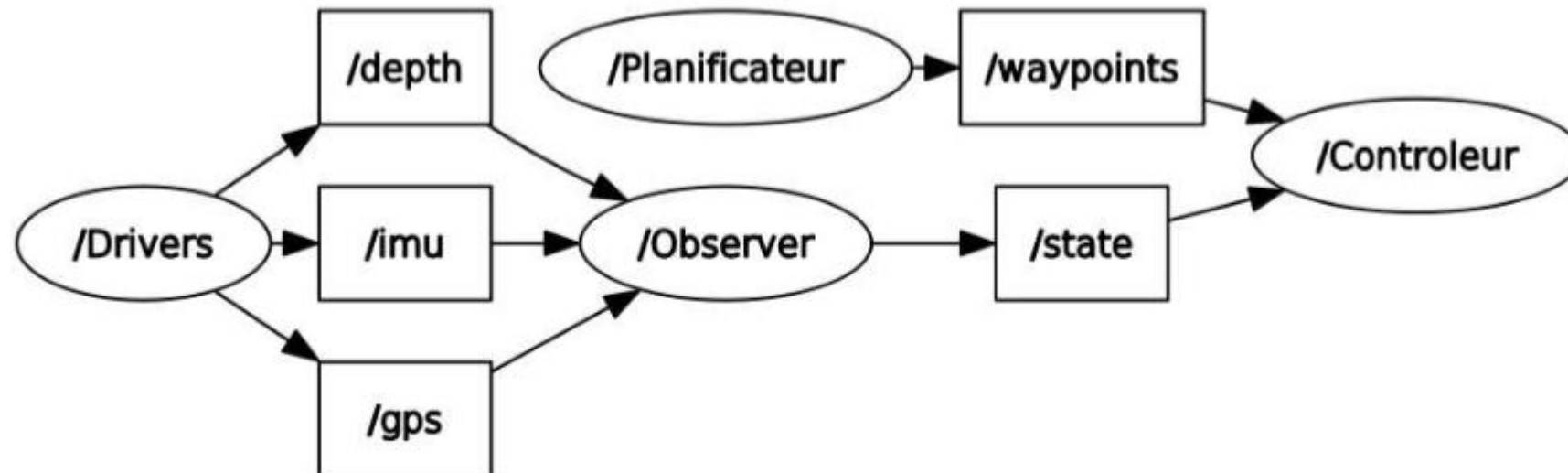
$$\Leftrightarrow a = p_1 \cdot u_0 \cdot |u_0| - p_2 \cdot v_x \cdot |v_x|$$

$$\begin{cases} \dot{p} = R(\varphi, \theta, \psi) \cdot (v_r, 0, 0)^T \\ \dot{v}_x = p_1 \cdot u_0 \cdot |u_0| - p_2 \cdot v_x \cdot |v_x| \\ \begin{pmatrix} \dot{\varphi} \\ \dot{\theta} \\ \dot{\psi} \end{pmatrix} = \begin{pmatrix} 1 & \tan \theta \sin \varphi & \tan \theta \cos \varphi \\ 0 & \cos \varphi & -\sin \varphi \\ 0 & \frac{\sin \varphi}{\cos \theta} & \frac{\sin \varphi}{\cos \theta} \end{pmatrix} \cdot v_x \cdot B(p_3, p_4) \cdot \begin{bmatrix} u_1 \\ u_2 \\ u_3 \end{bmatrix} \end{cases}$$



# Riptide : contrôle

## ROS



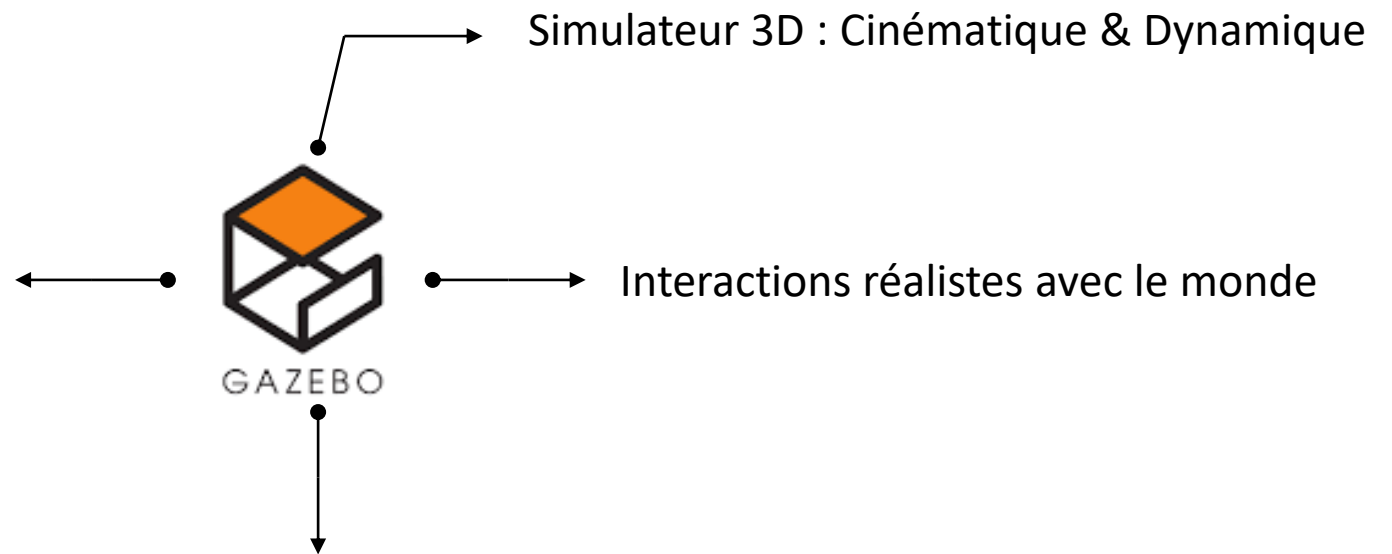


# Simulation des robots

# Simulation

## Présentation de Gazebo/ROS

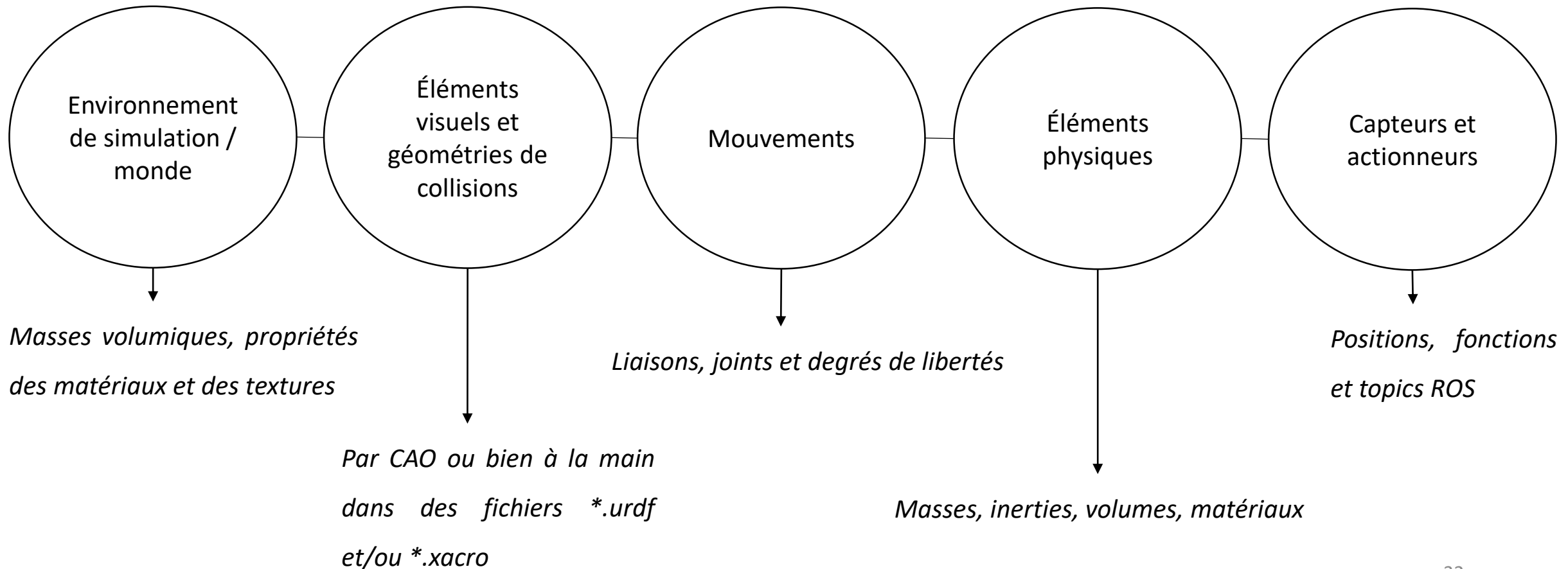
Utilisé pour des compétitions technologiques  
et open-source : sous licence Apache 2.0



Compatible avec ROS : interfaçage avec capteurs et actionneurs

# Simulation

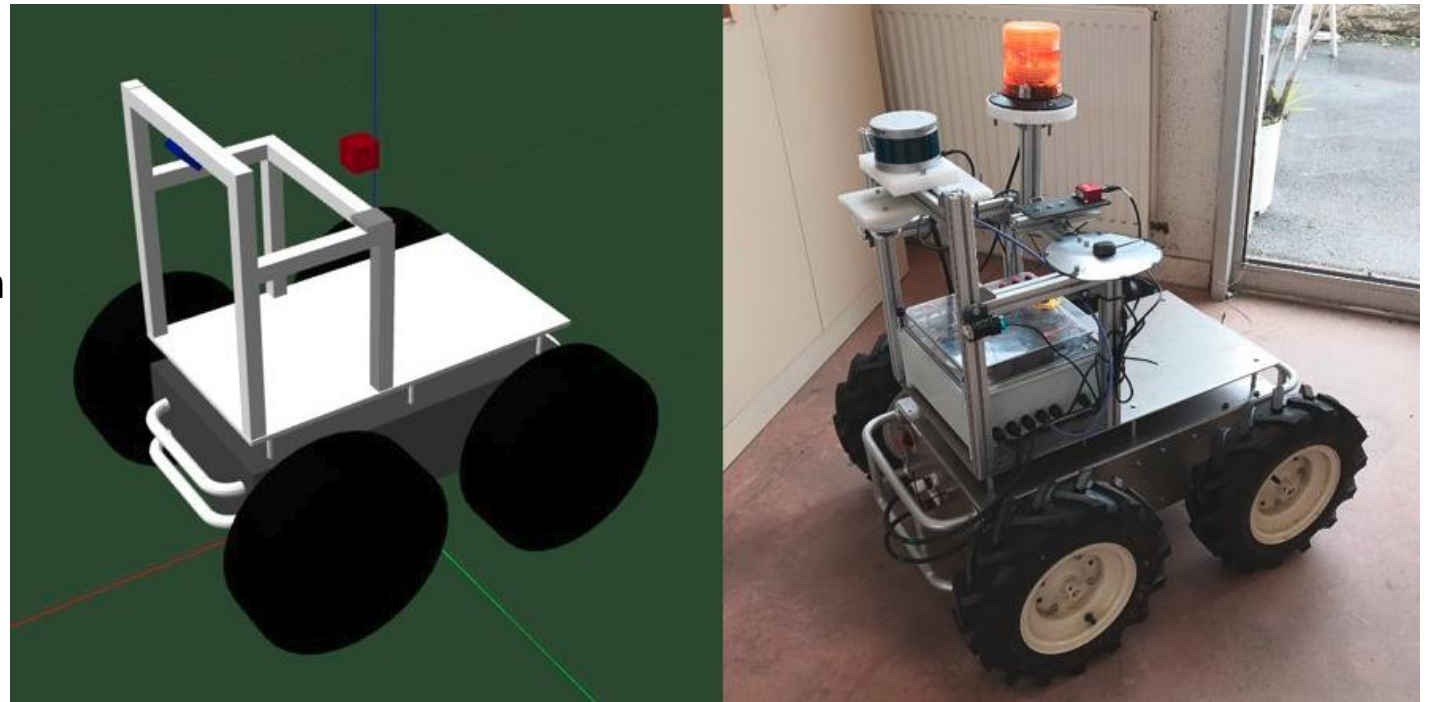
## Les étapes pour simuler sous Gazebo



## Simulation Saturne

### Modélisation du robot

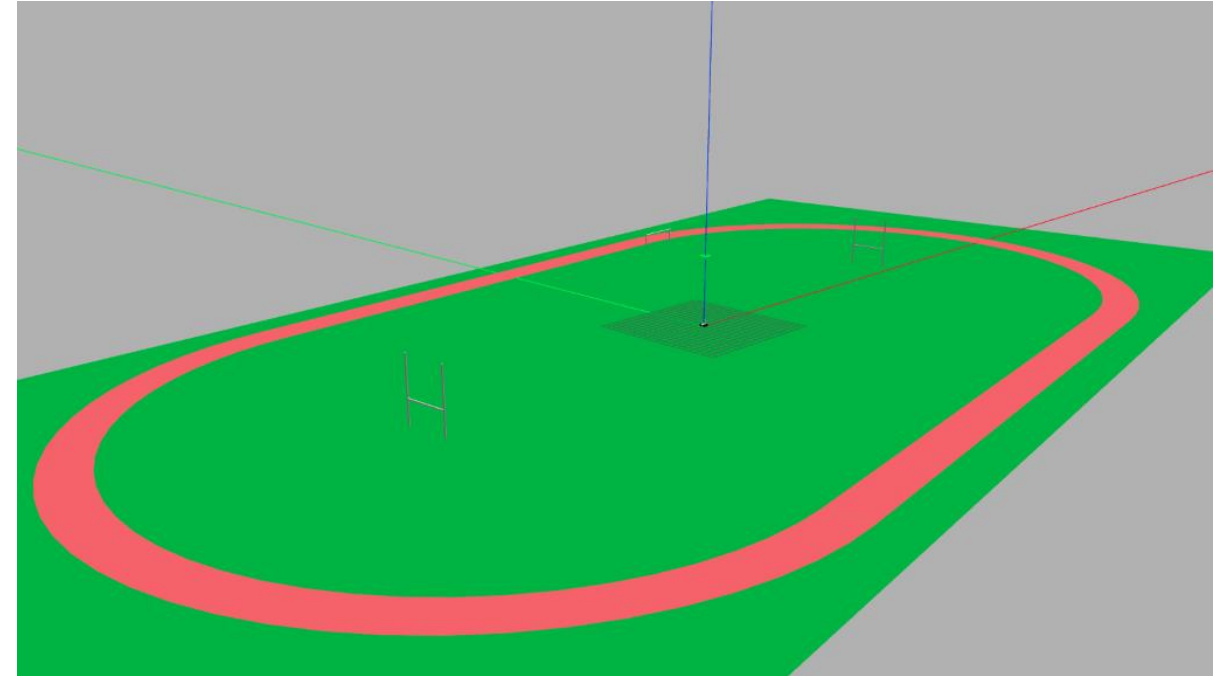
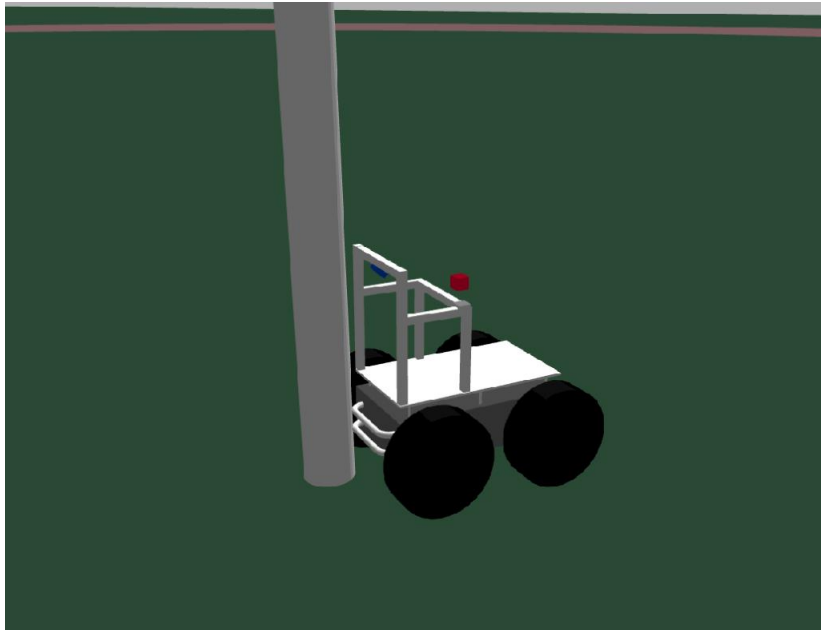
- Forme simple pour gazebo
- Capteurs simulés
- Codes réutilisables entre réel et simulation



## Simulation Saturne

### Modélisation de l'environnement

- Environnement conforme à la réalité

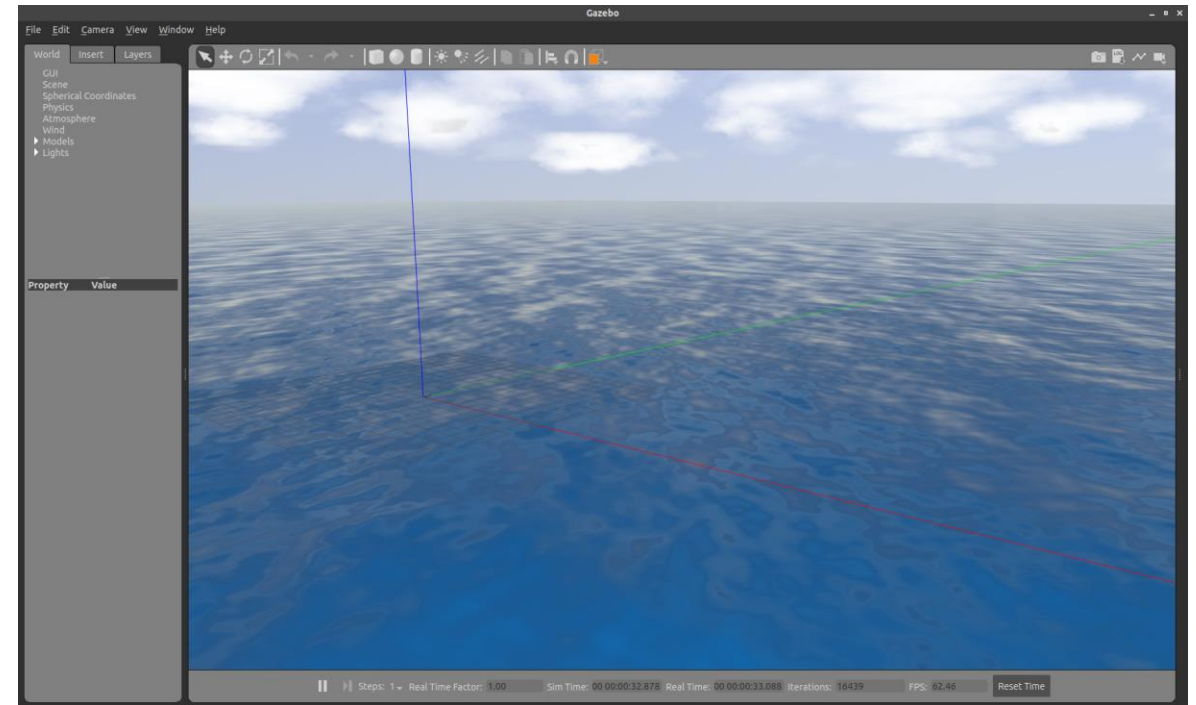


- Possibilité de tester les missions en avance

# Simulation

## UUV Simulator

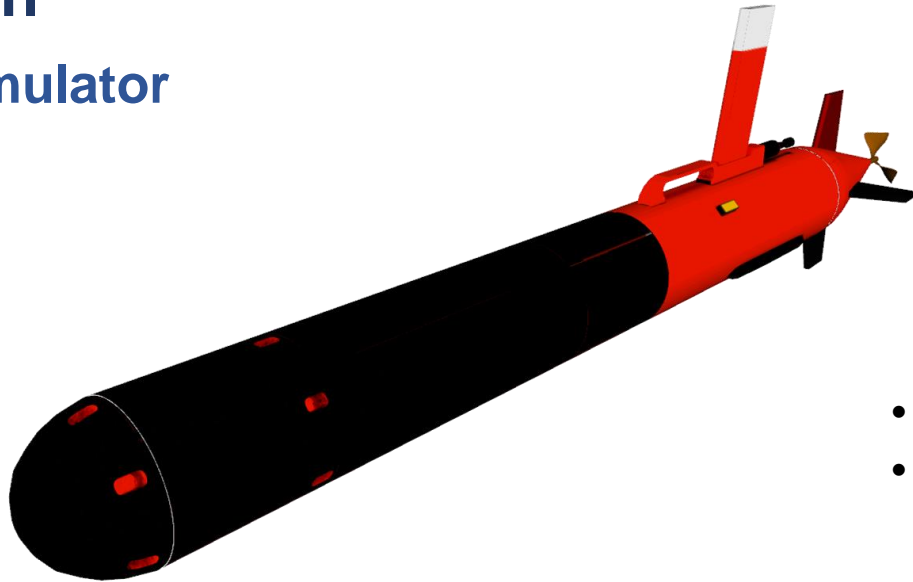
- **VISUALISATION**
  - D'un monde marin
    - Fichier .world
  - D'AUV
    - Modèle 3D issu d'un logiciel de CAO
  
- **SIMULATION**
  - Des propriétés physiques du monde
    - Fichier .world
  - De la dynamique des AUV
    - Équation de Fossen
    - Fichiers de description .urdf ou .xacro
      - Dimensions de l'AUV
      - Inertie
      - Collisions
      - Capteurs
      - Actionneurs...



Exemple du monde « ocean\_waves.world » sur UUV simulator

## Simulation

### UUV Simulator



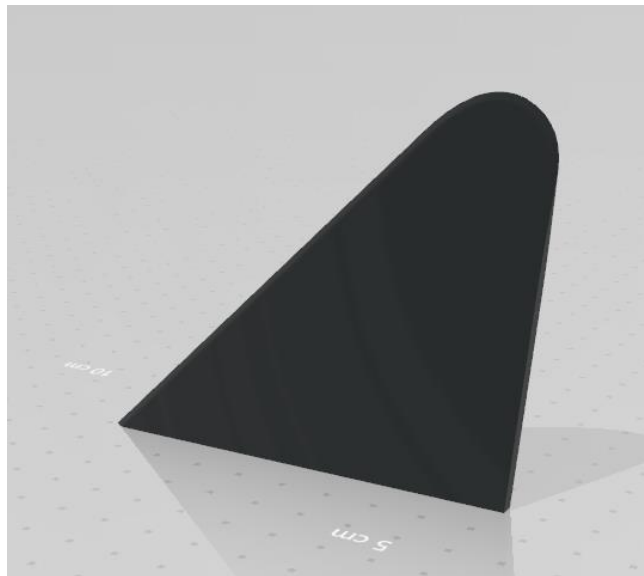
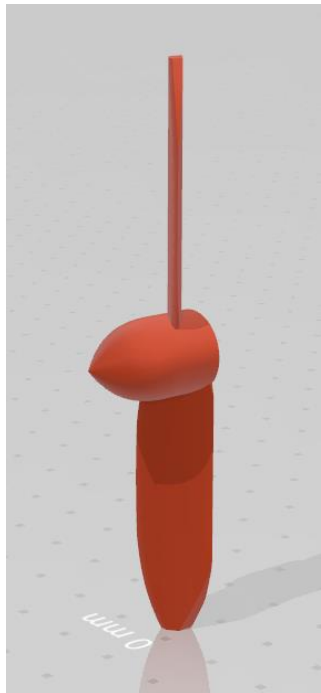
Modèle 3D du LAUV implémenté dans UUV simulator

- Inspiration à partir de modèles d'AUV existants
- LAUV = *Light Autonomous Underwater Vehicles* développé par le “Laboratório de Sistemas e Tecnologia Subaquática (LSTS)” de l’Université de Porto et OceanScan-MST
  - AUV type torpille
  - 4 ailerons en “+” et un 5<sup>ème</sup> central
  - Propulseur à 3 pales à l’arrière
- Récupération des fichiers .urdf et .xacro et adaptation des paramètres pour le Riptide

## Simulation

### Robot Riptide

- Modélisation 3D



# Simulation

## Robot Riptide

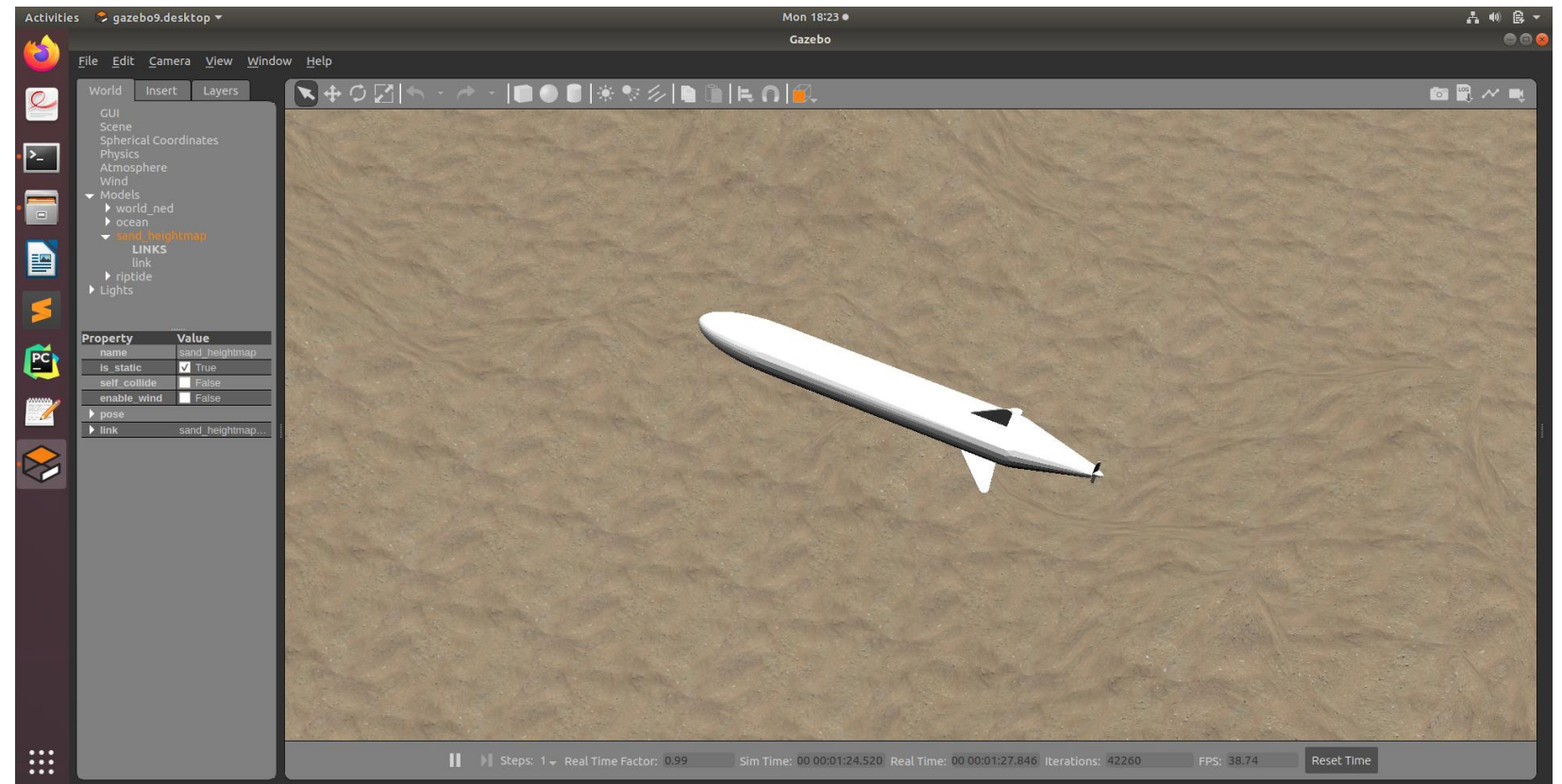
- Entrée des paramètres du Riptide (masse, longueur, rayon...)
- Assimilé à un cylindre pour les paramètres hydrodynamiques
- Volume calculé pour que le robot soit équilibré
- Ajout et configuration des capteurs et actionneurs
  - GPS, IMU, Capteur de pression
  - 1 propulseur 2 pales, 3 ailerons

<pre> lauv_description/   launch/     upload.launch   meshes/     MBake_Complete.png     README.md     black_fin.dae     body.dae     body.stl     propeller.dae     red_fin.dae     side_scan_sonar.dae   robots/     default.xacro   test/     test_urdf_files.py     test_urdf_files.test   urdf/     actuators.xacro     base.xacro     gazebo.xacro     sensors.xacro     snippets.xacro  CHANGELOG.rst CMakeLists.txt package.xml </pre>	<pre> riptide_description/   launch/     launch_heading.launch     launch_waypoint.launch     upload.launch   meshes/     body.dae     body.stl     fin.dae     propeller.dae   robots/     default.xacro   src/     remap.py   test/     test_urdf_files.py     test_urdf_files.test   urdf/     actuators.xacro     base.xacro     gazebo.xacro     sensors.xacro     snippets.xacro  CMakeLists.txt LICENSE NOTICE package.xml README.md </pre>
--	--

# Simulation

## Robot Riptide

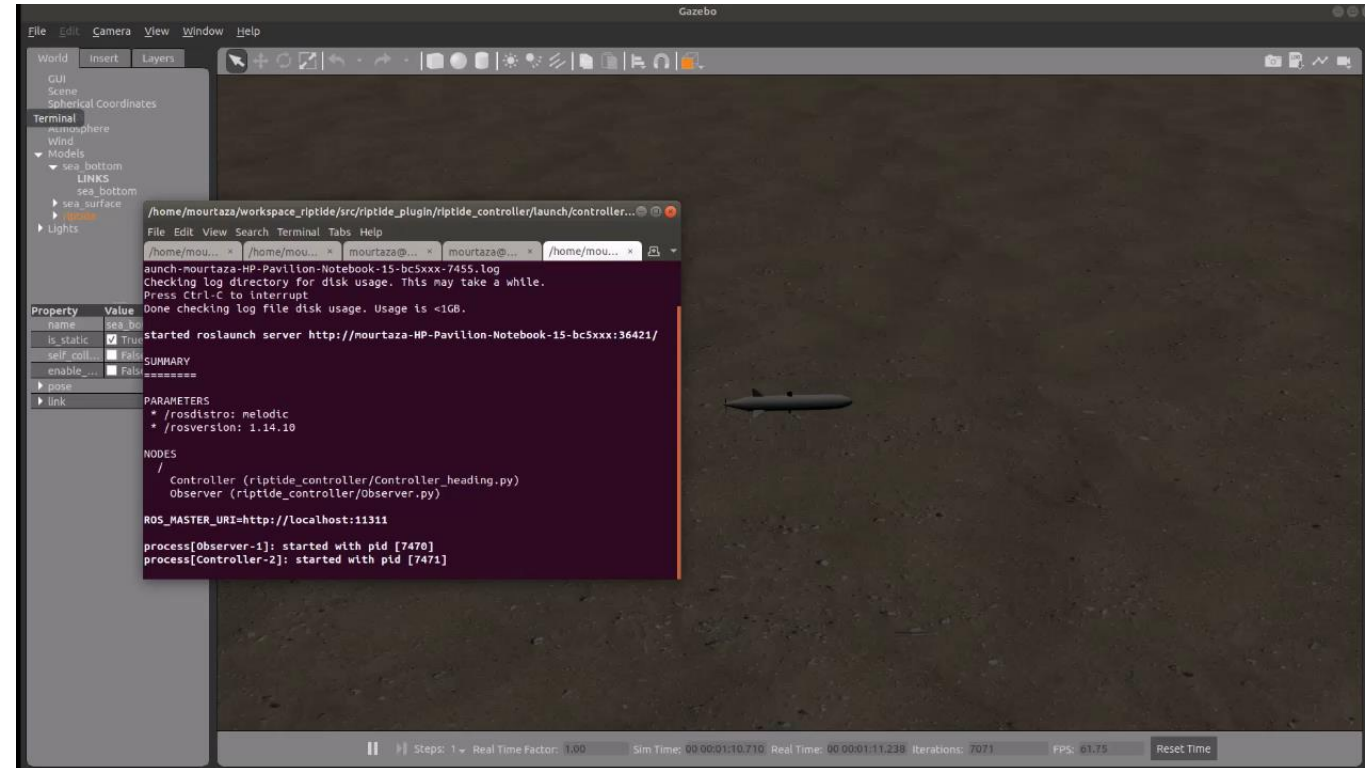
- Tests sur Gazebo avec rqt
- Monde ocean\_waves



# Simulation

## Robot Riptide

- Interface avec le contrôleur
  - Contrôleur implémenté pour le robot réel
  - Ajout d'un nœud pour renommer les topics pour la simulation
- Tests de suivi de cap et de waypoints





# Génération de trajectoires



# Génération de trajectoires

## Problématique

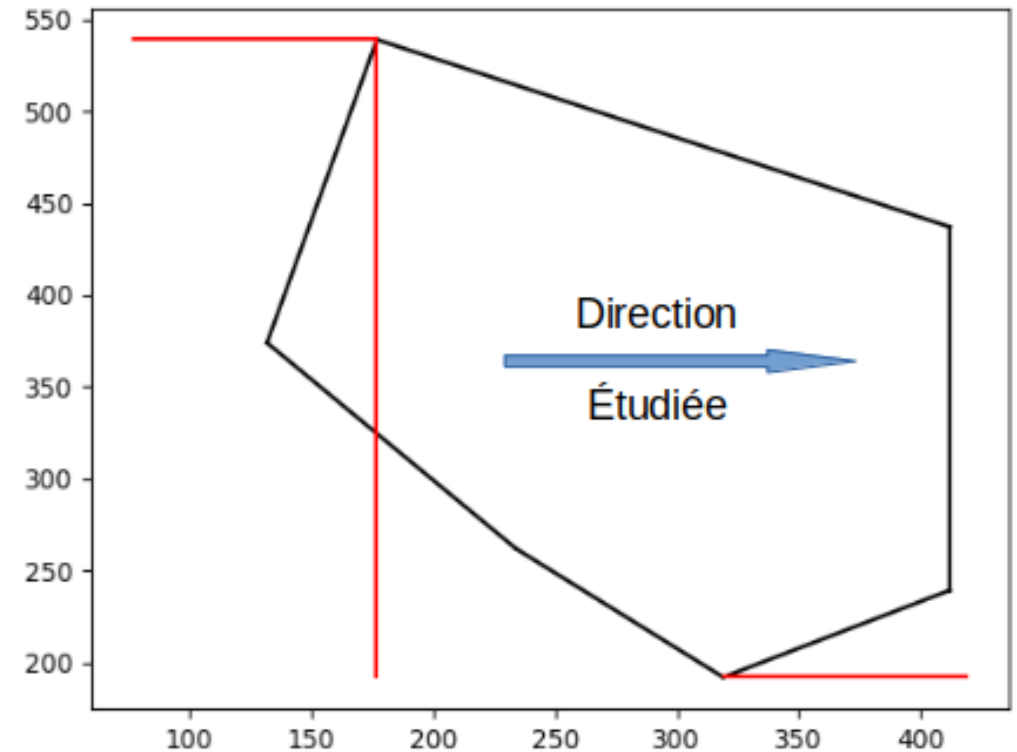
- Garantir l'évitement d'obstacle et le respect des limites de zone d'étude
- Explorer au maximum la zone d'étude
- Fournir une trajectoire gardant le câble tendu
- Fournir une solution indépendante de la taille du câble
- Minimiser la distance non utile parcourue

## Génération de trajectoires

### Boustrophédon sur un polygone convexe

Comment trouver la direction optimale de parcours ?

- Cas simple : polygone convexe
- Recherche sur les sommets uniquement
- Algorithme : *Rotating calipers*



## Génération de trajectoires

### Boustrophédon sur un polygone convexe

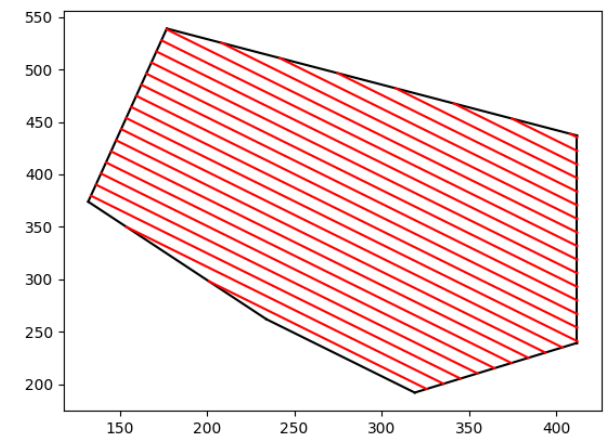
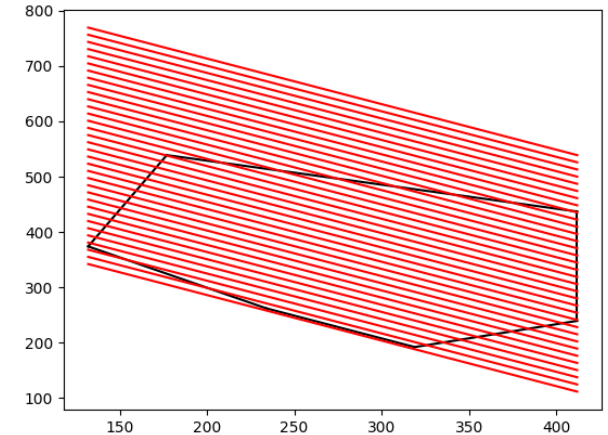
Comment générer les lignes du boustrophédon ?

- Générer les droites parallèles

Si  $|\alpha| < \frac{\pi}{2} - \delta a$  :  $y = ax + b + i_{\text{itération}} \delta b$  où  $a = \tan(\alpha)$ ,  $b = y_{\text{max}} + |a x_{\text{max}}|$  et  $\delta b = \frac{d}{\sin(\frac{\pi}{2} - a)}$

Sinon  $x = x_{\text{min}} + i_{\text{itération}} * d$

- Garder l'intersection des droites avec le polygone

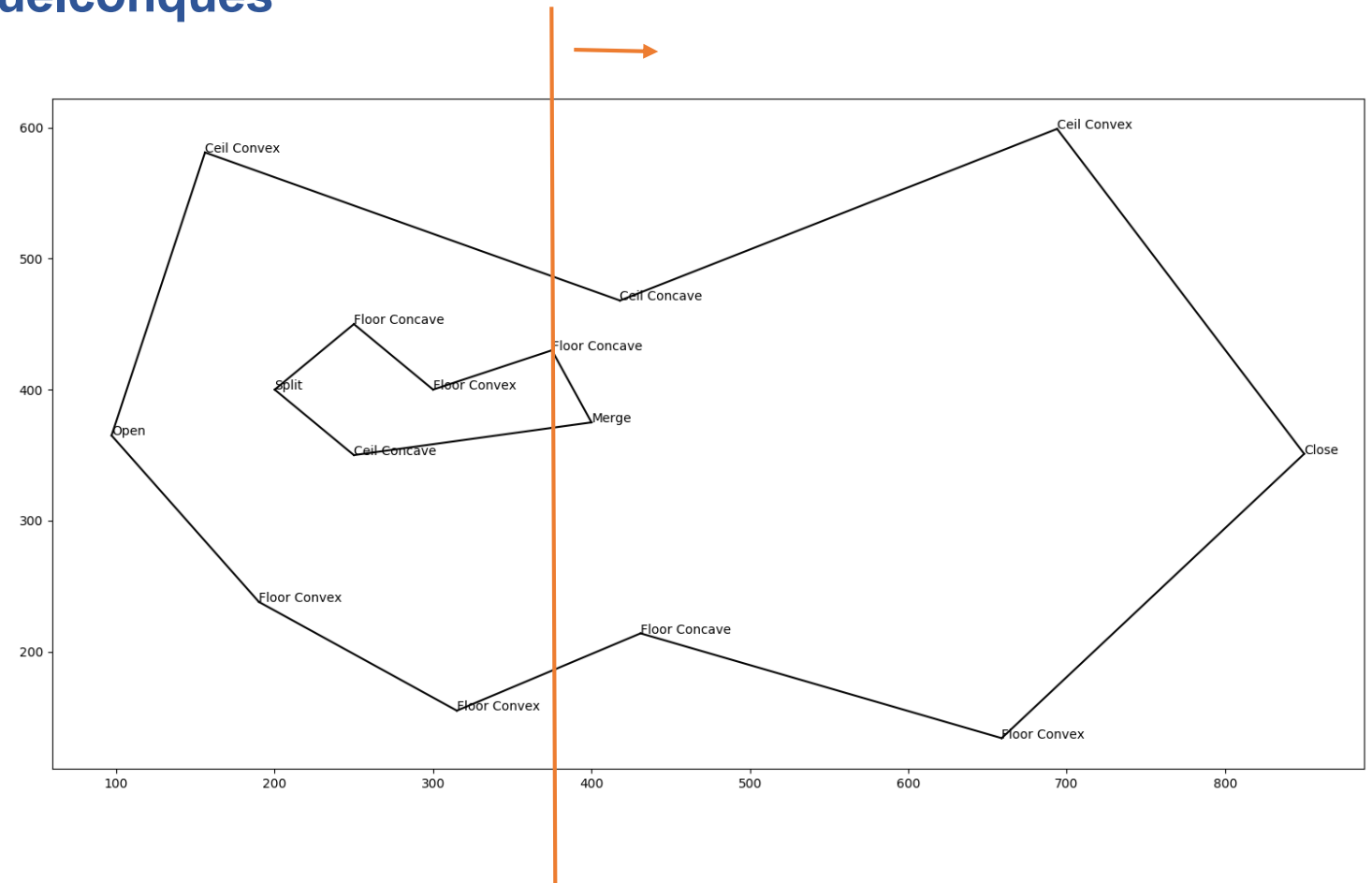


# Génération de trajectoires

## Généralisation aux polygones quelconques

Comment décomposer un polygone quelconque en sous-parties (cellules) convexes ?

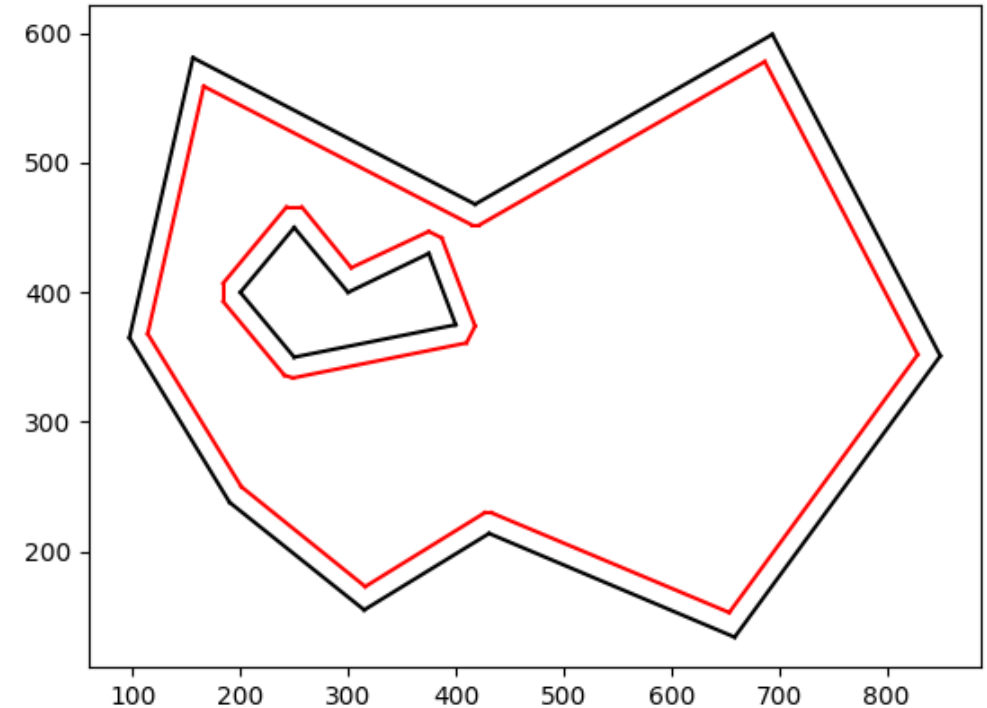
- Algorithme : *Sweep line*
- Classer chaque sommet du champ de polygone : OPEN, SPLIT, MERGE, CLOSE, FLOOR/CEIL - CONVEX/CONCAVE
- Appliquer les actions correspondantes aux sommets identifiés



## Génération de trajectoires

### Prise en compte de la stratégie de virage

- Calculer le dépassement maximal  $R$  (avec un coefficient de sécurité  $S$ )
  - Eroder le polygone extérieur d'un facteur  $R+S$
  - Dilater les polygones intérieurs d'un facteur  $R+S$
- = Problèmes de *polygon offset*



# Génération de trajectoires

## Ordre de parcours

Comment diminuer la distance inutile parcourue ?

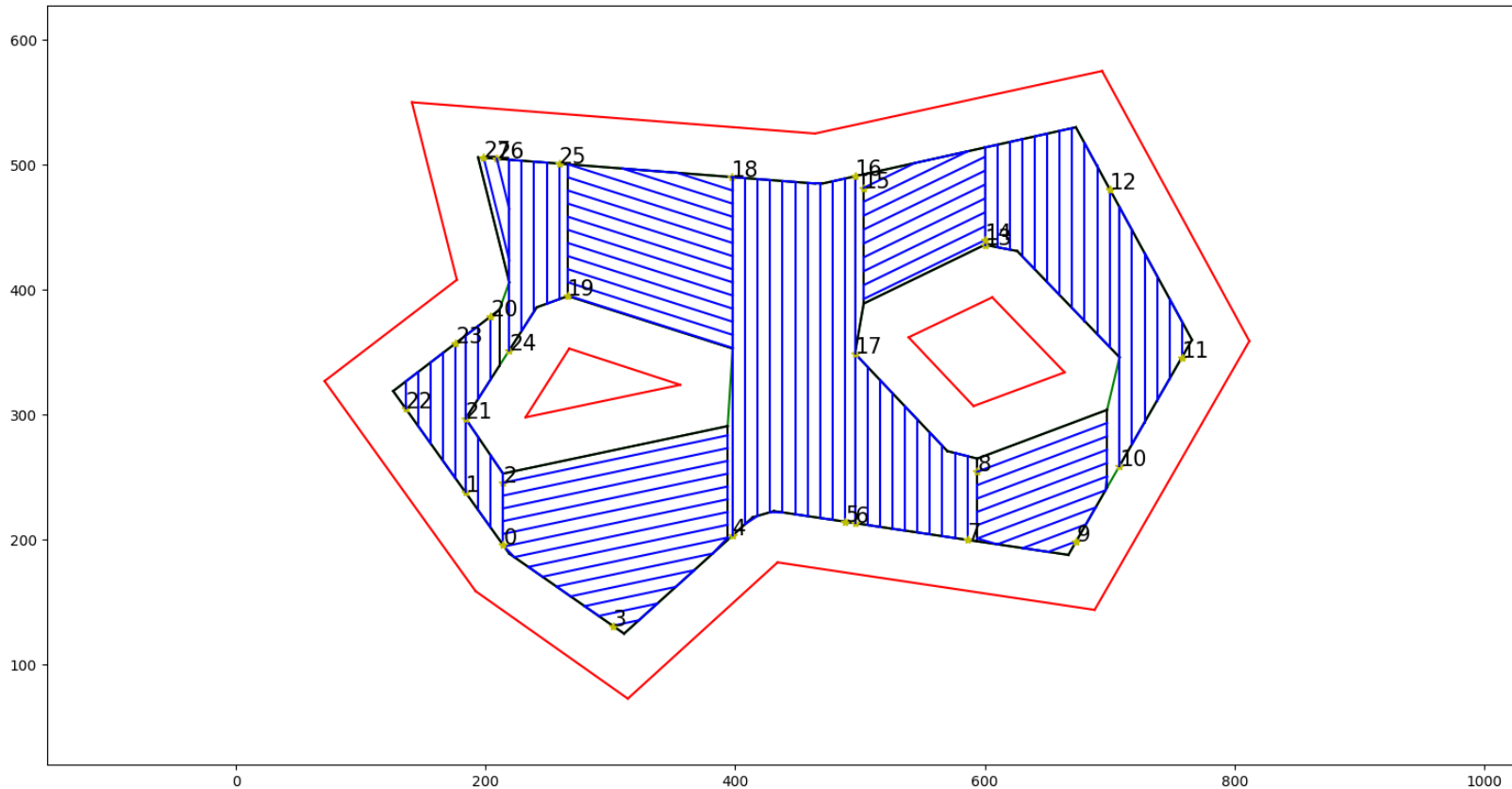
- Passer une seule fois par zone
- Passer dans toutes les zones

= Problème du voyageur de commerce



# Génération de trajectoires

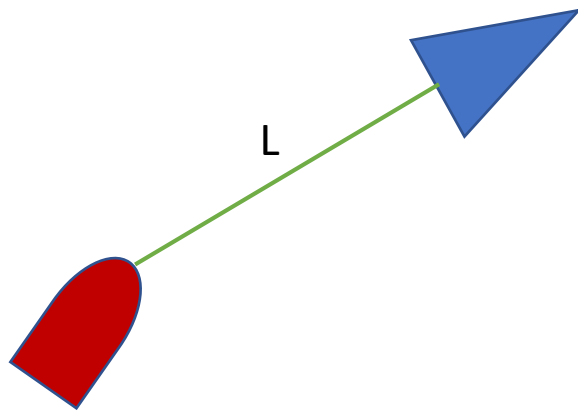
## Résultat



# Génération de trajectoires

## Prévision de trajectoire

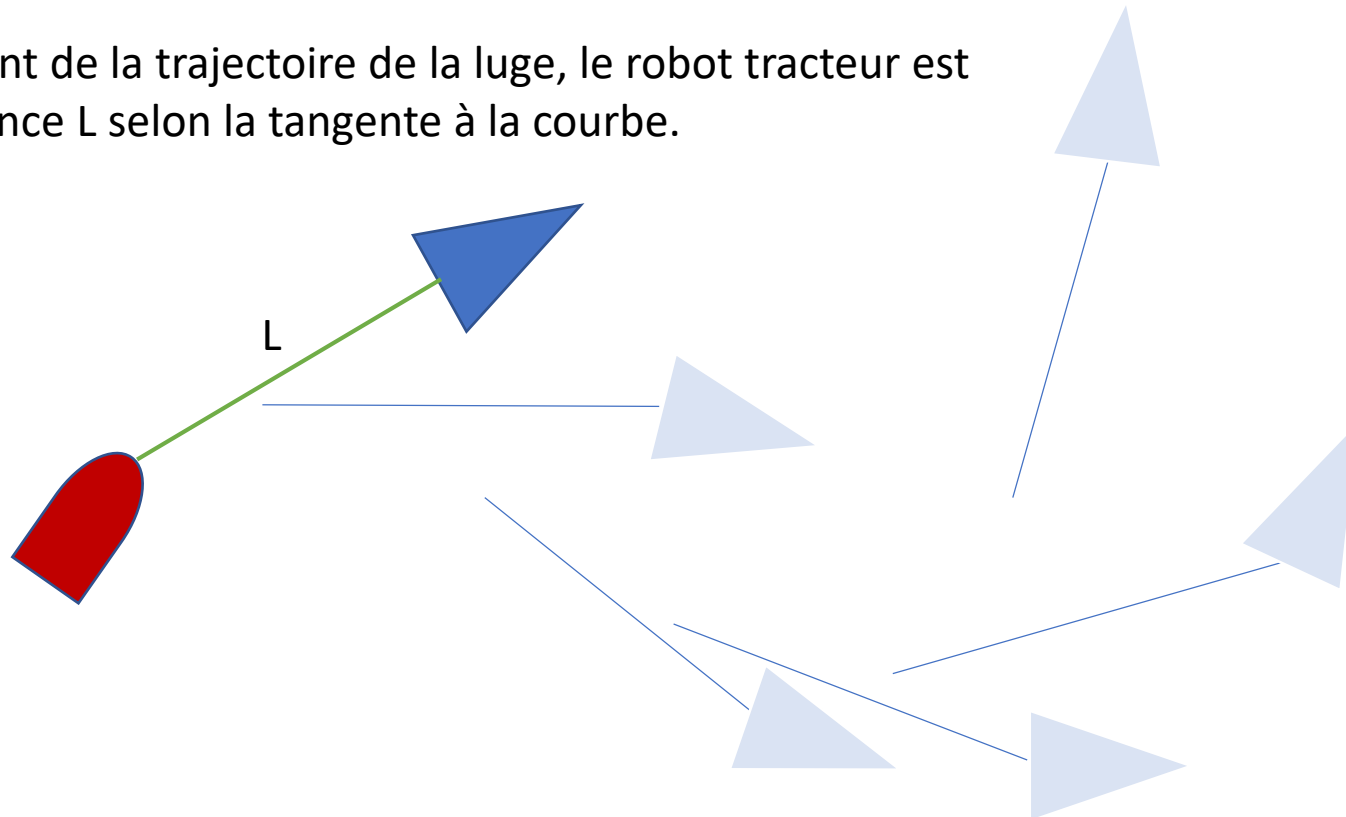
Comment faire suivre à la luge une trajectoire prédéfinie ?



# Génération de trajectoires

## Prévision de trajectoire

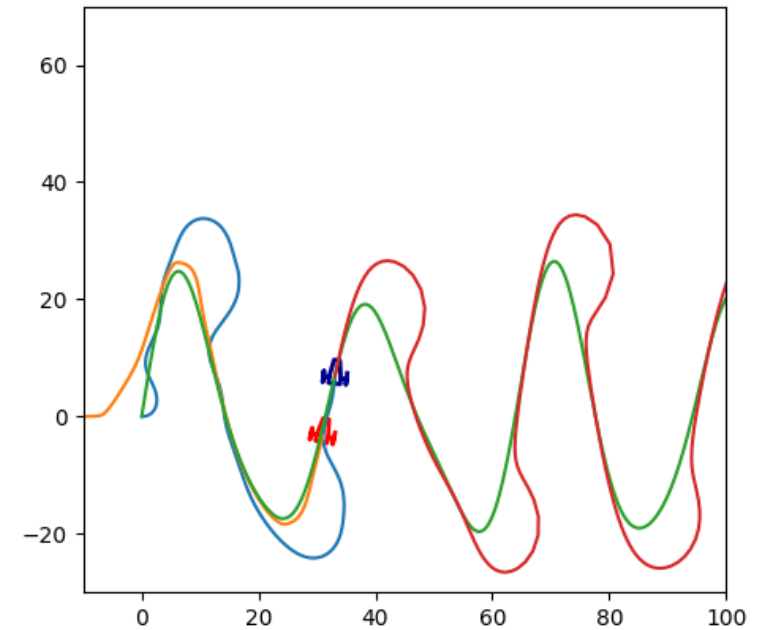
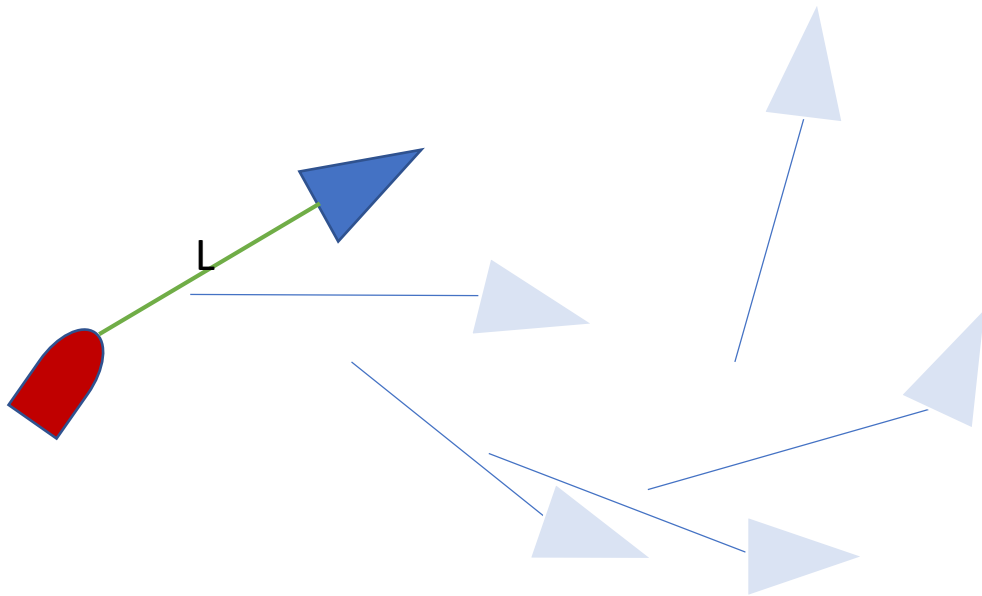
En tout point de la trajectoire de la luge, le robot tracteur est à une distance  $L$  selon la tangente à la courbe.



# Génération de trajectoires

## Prévision de trajectoire

On peut donc en déduire la trajectoire du robot.

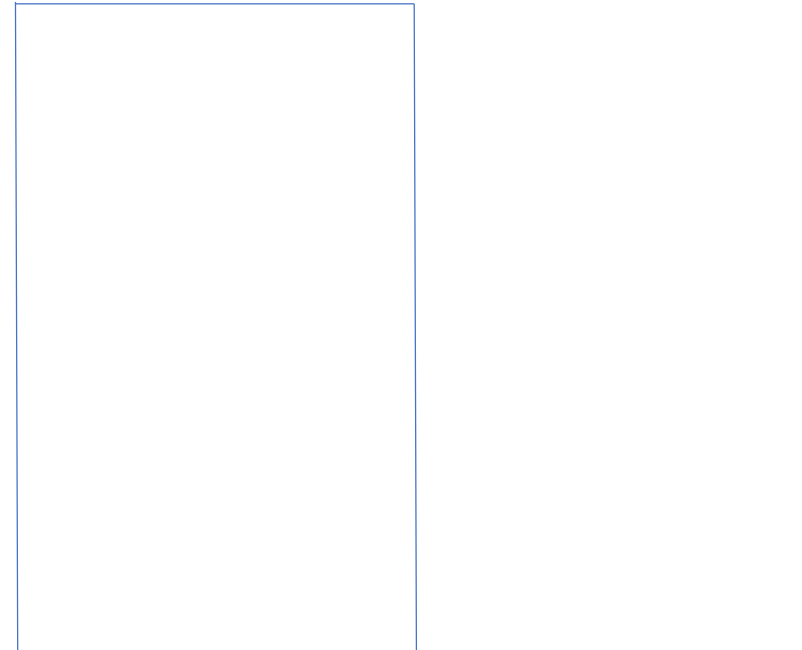




## Génération de trajectoires

### Prévision de trajectoire

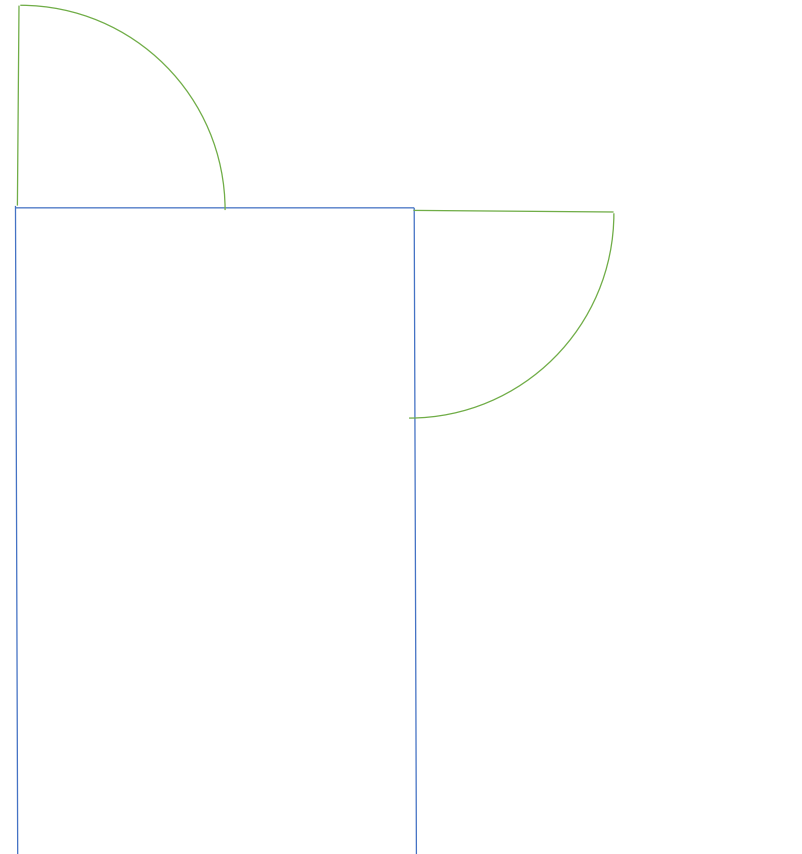
Simplification pour suivi de waypoints :



## Génération de trajectoires

### Prévision de trajectoire

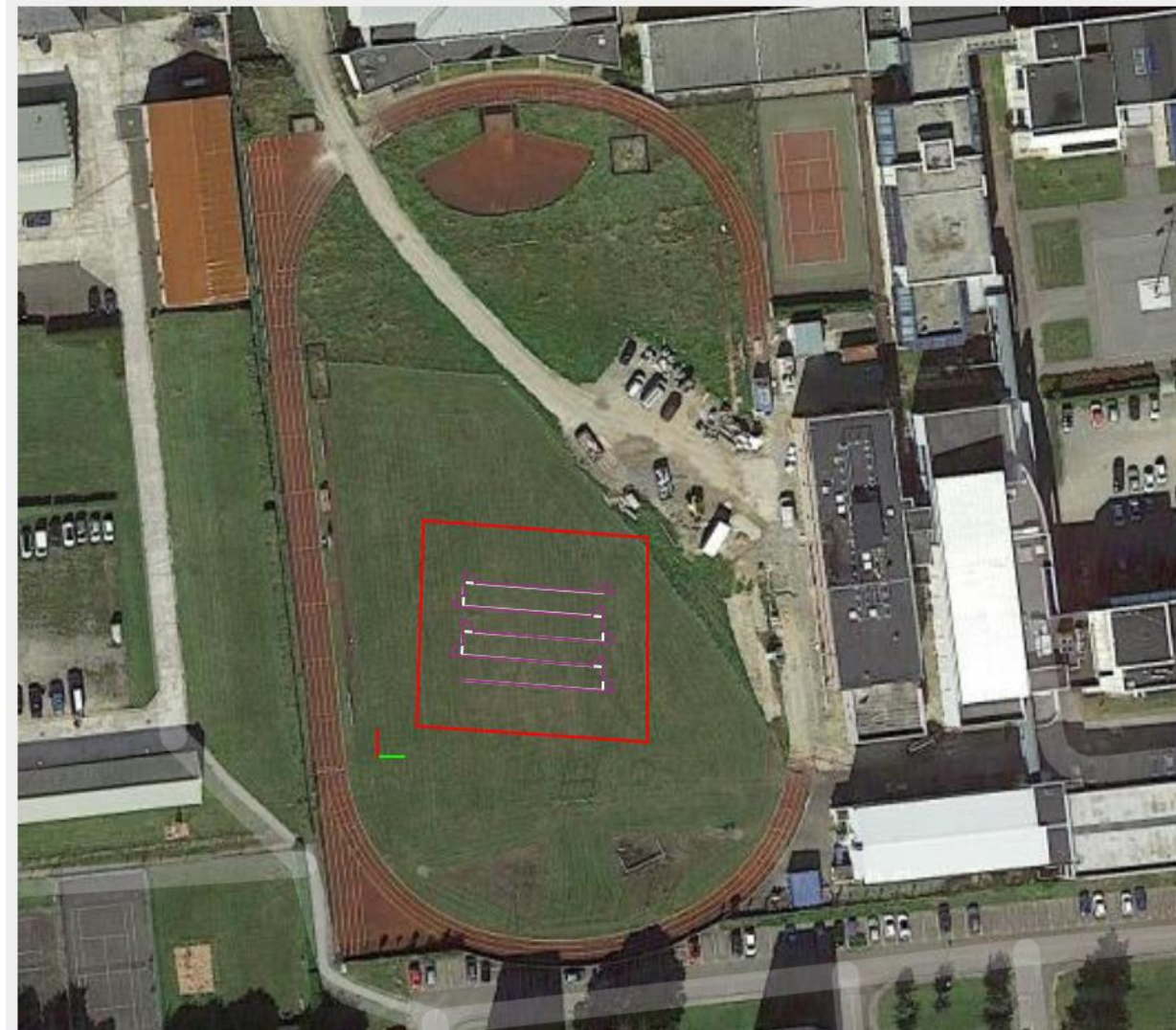
Simplification pour suivi de waypoints :



## Génération de trajectoires

### Interface utilisateur

Création d'une interface utilisateur pour simplifier la planification de mission



Origine  
N/W 48.418075 -4.474395  
d 5.0 | l 8.0 | s 1.0  
Echelle  
Poly  
Add Obstacle  
Path  
Compute



# Post-processing des données

# Post processing

## Introduction

Objectifs :

- Estimer un ensemble fiable des trajectoires possibles prises par la luge en s'appuyant sur les capteurs de position embarqué sur Saturne
- Réaliser une carte fiable des zones ayant été, ayant peut-être été et n'ayant absolument pas été explorés par magnétomètre



$$[1] \begin{cases} \dot{x} = f(x(t), u(t)) & (\text{evolution equation}) \\ y^i = g(x(t_i)) & (\text{observation equation}) \end{cases}$$

Equations d'état

# Modélisation du système

## Equations d'états

Modèle cinématique du robot Saturne tractant la luge :

$$\dot{x} = f(x, u) = \begin{cases} \dot{x}_1 = \frac{u_1 + u_2}{2} \cdot \cos(x_3) & (1) \\ \dot{x}_2 = \frac{u_1 + u_2}{2} \cdot \sin(x_3) & (2) \\ \dot{x}_3 = u_2 - u_1 & (3) \\ \dot{x}_4 = -\frac{u_1 + u_2}{2} \cdot \sin(x_4) - \dot{x}_3 & (4) \end{cases}$$

- $x_1$ ,  $x_2$  et  $x_3$  sont respectivement l'abscisse, l'ordonnée et l'orientation du robot de tractage
- $x_4$  est l'angle de la luge avec le robot.

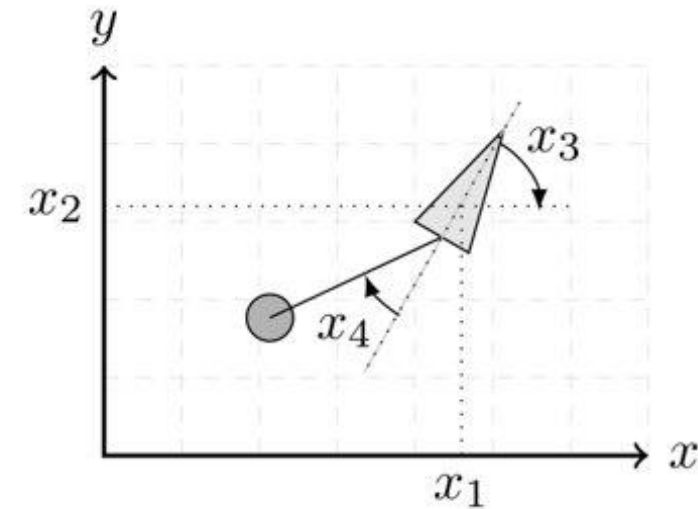
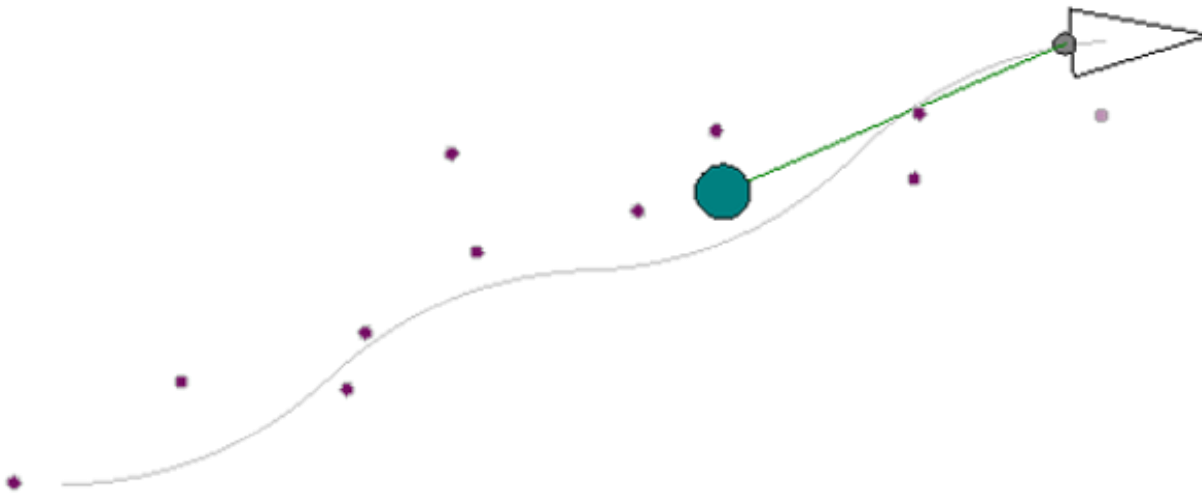


Fig. 1. Diagram representing system state variables

## Modélisation du système

### Simulation



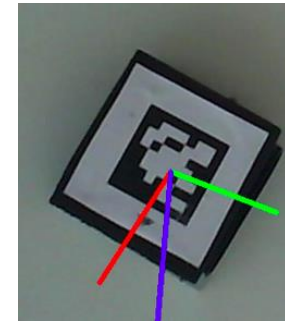
Simulation VIBES

- VIBES
- Intègre l'équation d'évolution
- Méthode d'intégration d'Euler
- GNSS simulé
- Boussole simulée

## Angle de la luge

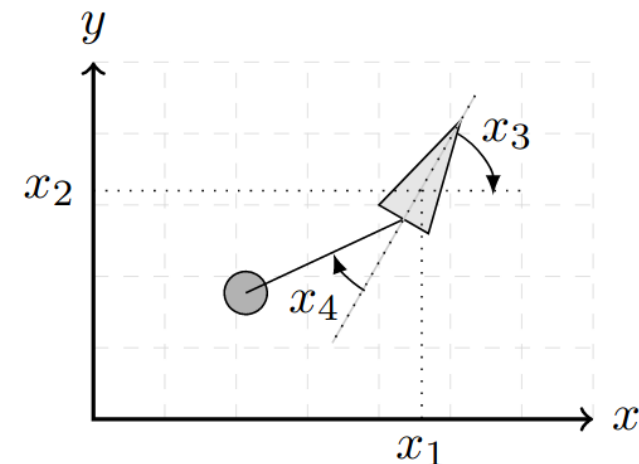
### Obtention par une caméra

- Estimation de la position avec des ArUco.
- Algorithme de traitement d'images -> superposition de ligne.



### Obtention par une équation d'état

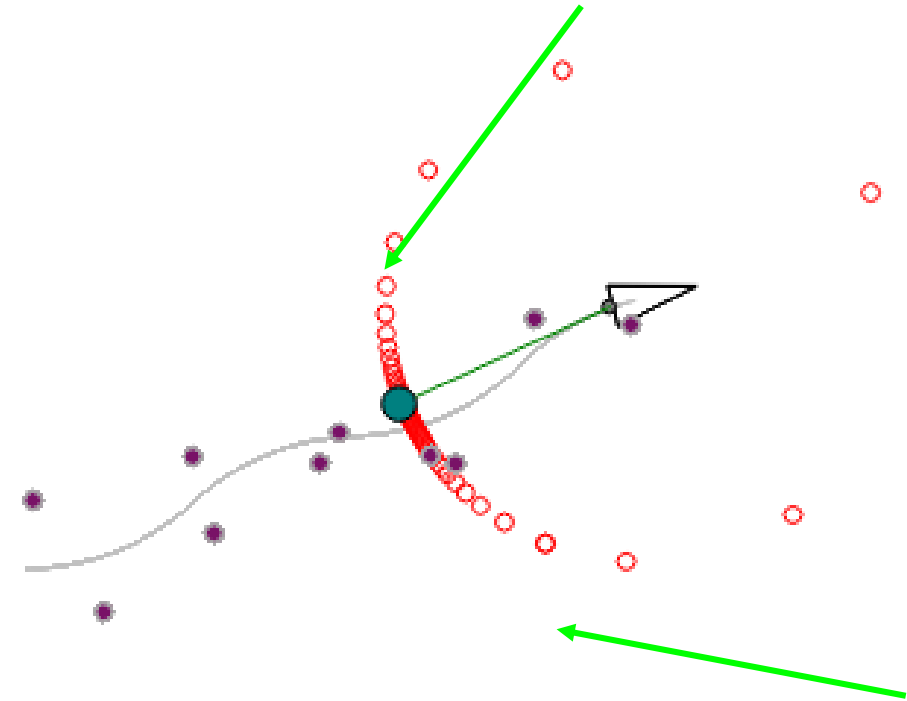
$$\dot{x}_4 = -\frac{u_1 + u_2}{2} \cdot \sin(x_4) - \dot{x}_3$$



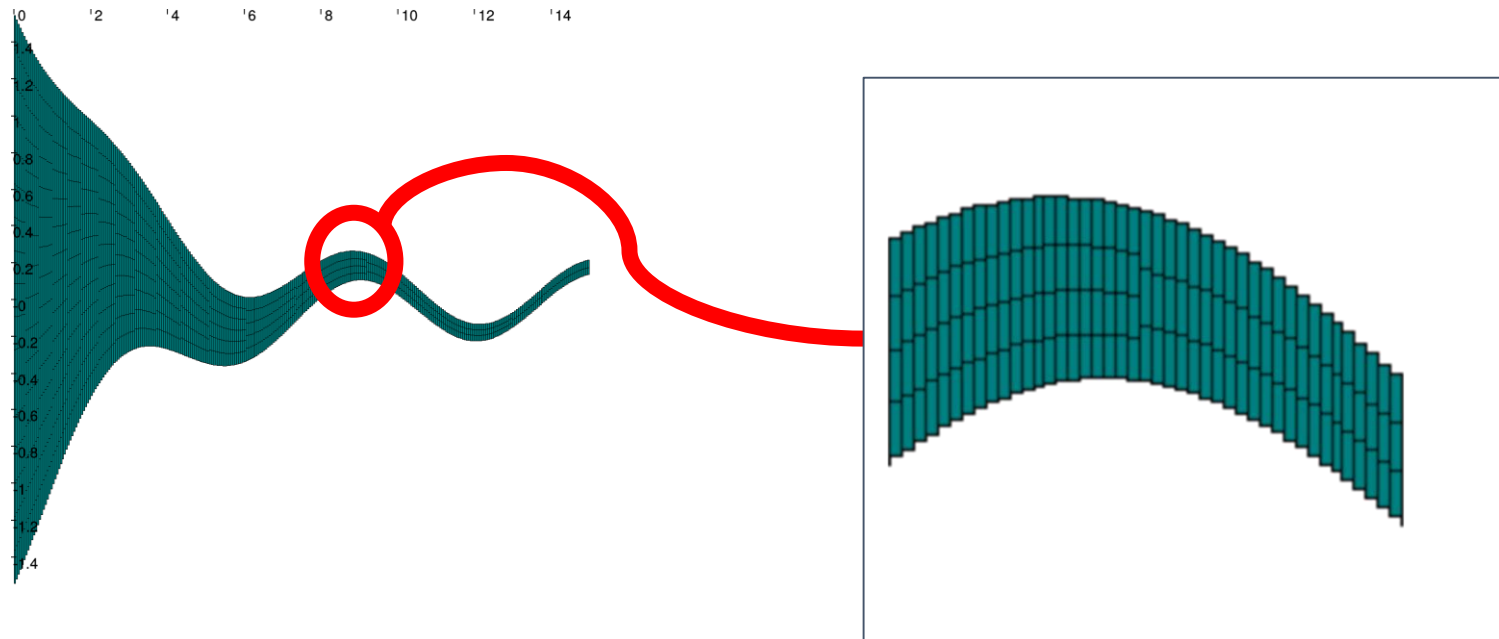
## Vérification du modèle cinématique par méthodes statistiques

### Méthode de Monte-Carlo

- Génération d'un ensemble de conditions initiales d'angles de luge
- Intégration de l'équation différentielle



## Vérification du modèle cinématique par méthodes ensemblistes

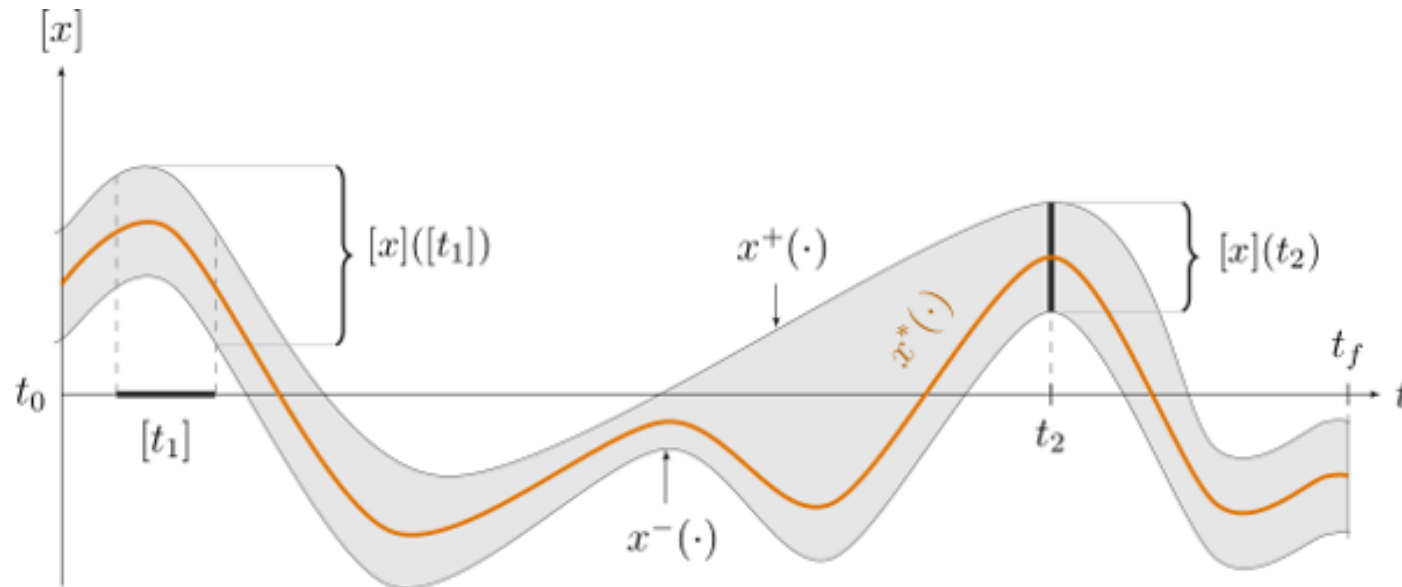


### Méthode ensembliste : analyse par intervalle

- Certitude : aucune condition initiale oubliée.
- Similairement à la méthode Monte-Carlo : on a une convergence de la solution autour de l'angle de la luge.

## Localisation par approche ensembliste

### Tubes



- Objet permettant d'encadrer toutes les trajectoires possibles d'un système.
- Ensemble d'intervalles évoluant au cours du temps.

## Localisation par approche ensembliste

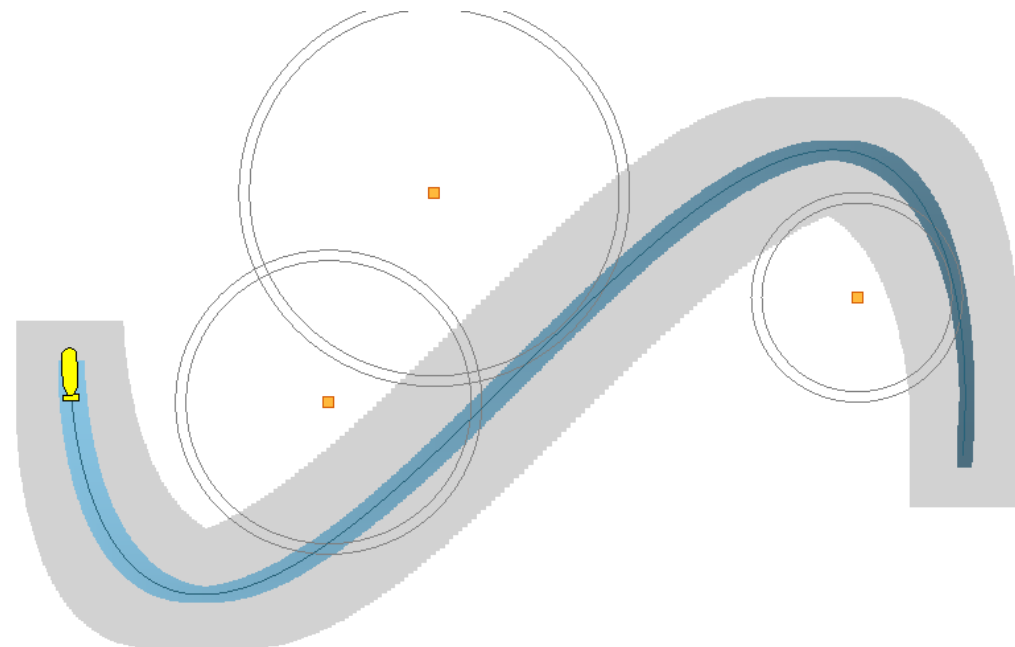
### Réseau de contracteurs

$$\text{CtcDeriv: } \dot{x}(t) = v(t)$$

$$\dot{x}(\cdot) = v(\cdot) \longrightarrow \mathcal{C}_{\frac{d}{dt}}([\mathbf{x}(\cdot), \mathbf{v}(\cdot)])$$

$$\text{CtcEval: } y_i = x(t_i)$$

$$\left. \begin{array}{l} y_i = x(t_i) \\ \dot{x}(\cdot) = v(\cdot) \end{array} \right\} \longrightarrow \mathcal{C}_{\text{eval}}([t_i], [y_i], [\mathbf{x}(\cdot), \mathbf{v}(\cdot)])$$



## Localisation par approche ensembliste

### Localisation du MagMap

Décomposition des contraintes:

$$\mathbf{v}(\cdot) = f(\mathbf{x}(\cdot), \mathbf{u}(\cdot))$$

$$\dot{\mathbf{x}}(\cdot) = \mathbf{v}(\cdot)$$

$$\dot{\mathbf{v}}(\cdot) = \mathbf{a}(\cdot)$$

$$\mathbf{d}(\cdot) = \mathbf{x}_{1,2}(\cdot) - \mathbf{x}_m(\cdot)$$

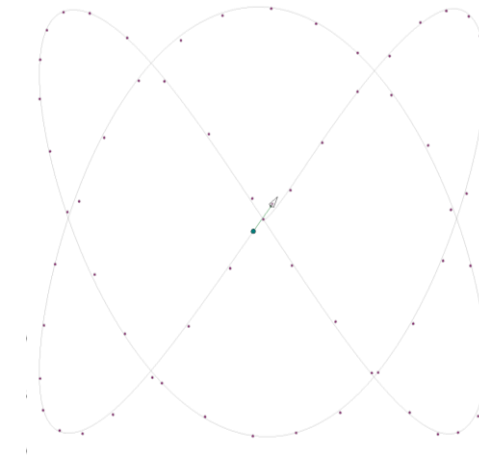
$$\mathbf{t} = \mathbf{x}_3 + \mathbf{x}_4$$

$$\mathcal{L}_{polar}(\mathbf{d}(\cdot), [L], \mathbf{t})$$

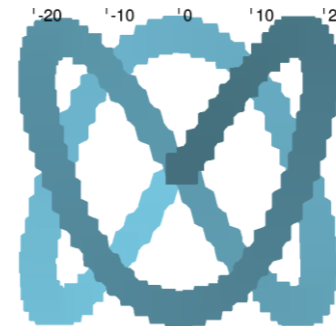
$$\mathcal{L}_{eval}(t_i, [\mathbf{y}_{1,2}], \mathbf{x}_{1,2}(t_i), \mathbf{v}_{1,2}(t_i))$$

$$\mathcal{L}_{eval}(t_j, [\mathbf{y}_{4,5}], \mathbf{v}_{1,2}(t_j), \mathbf{a}_{1,2}(t_j))$$

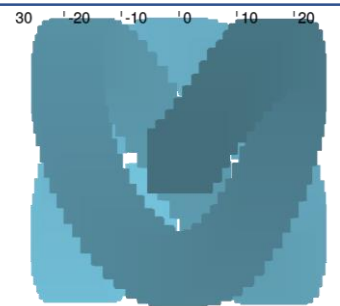
Trajectoire



Tube saturne



Tube magnétomètre



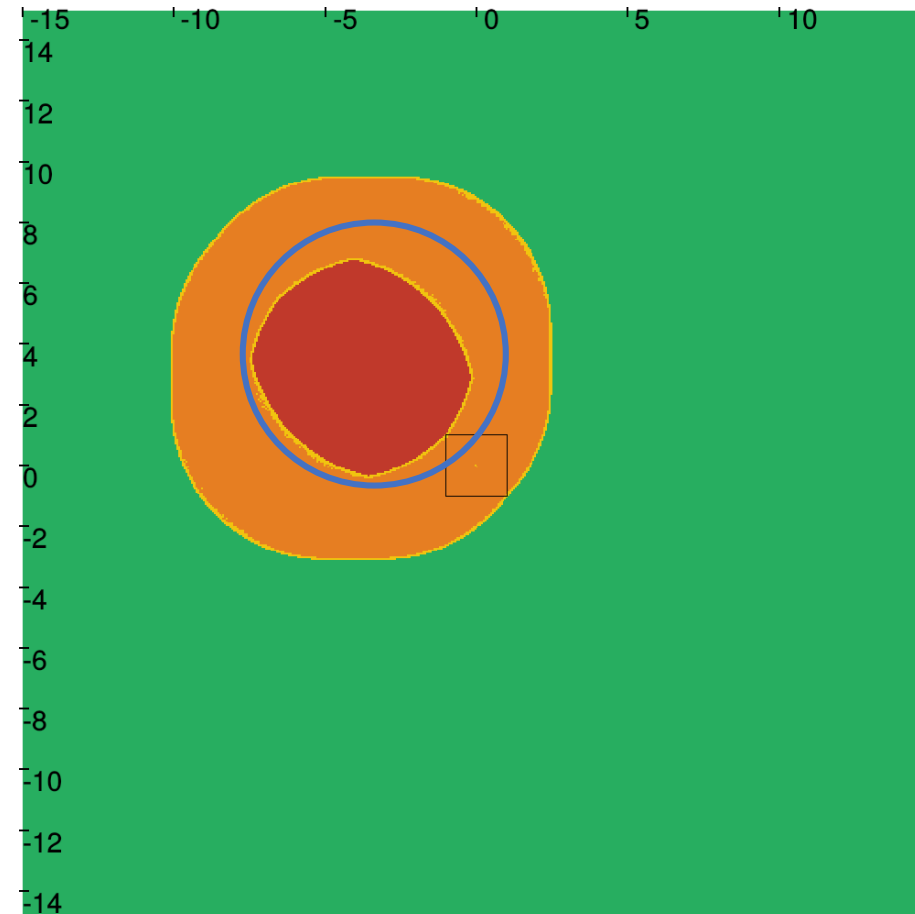
## Couverture de la cartographie

### Thicksets

- Connaissance boîte contenant le robot tracteur
- Encadrer ensemble mesuré (cercle bleu) par Subset (zone rouge) et Supset (zone orange)



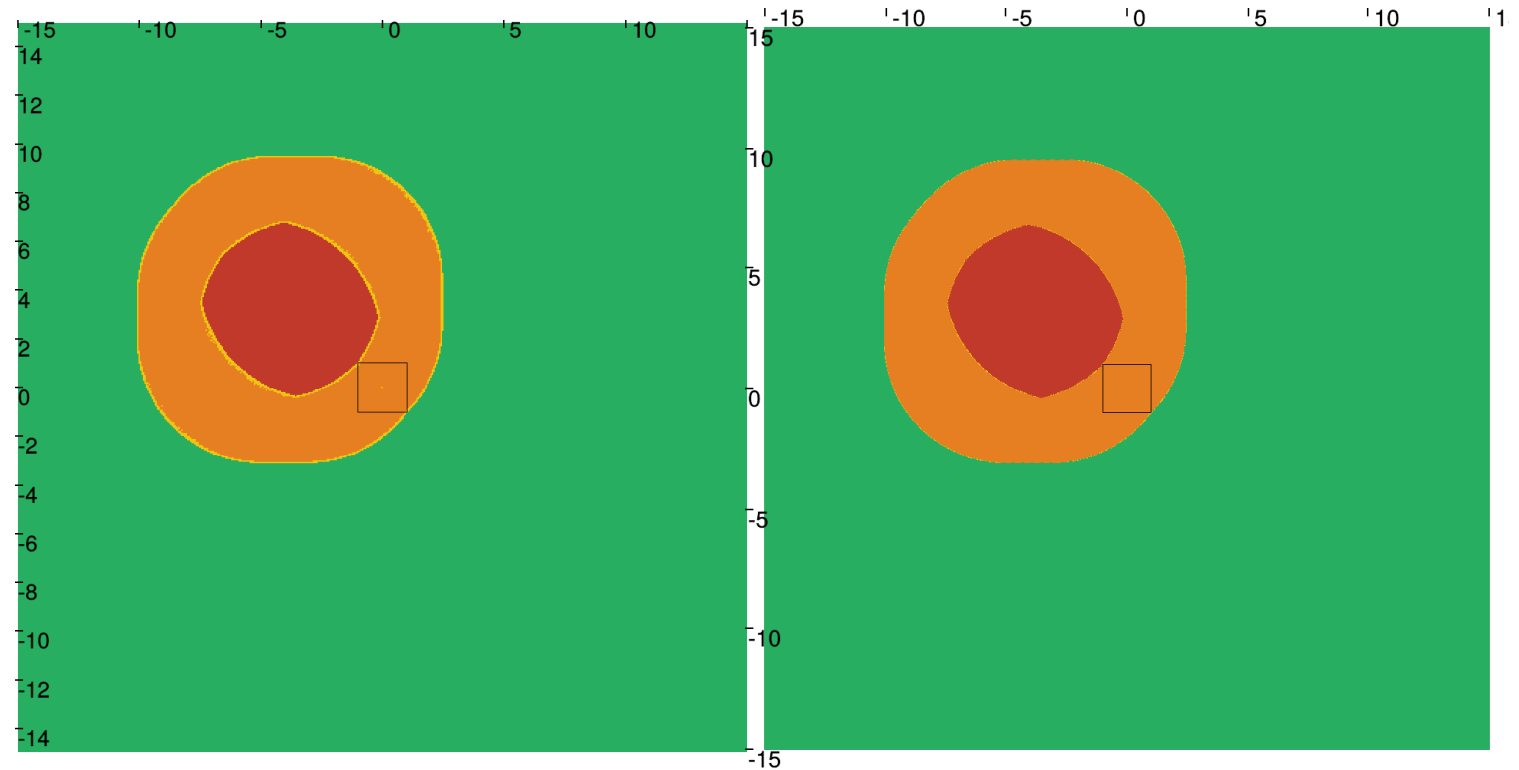
- Utilisation Thicksets, librairie d'Ibex



## Couverture de la cartographie

### SIVIA

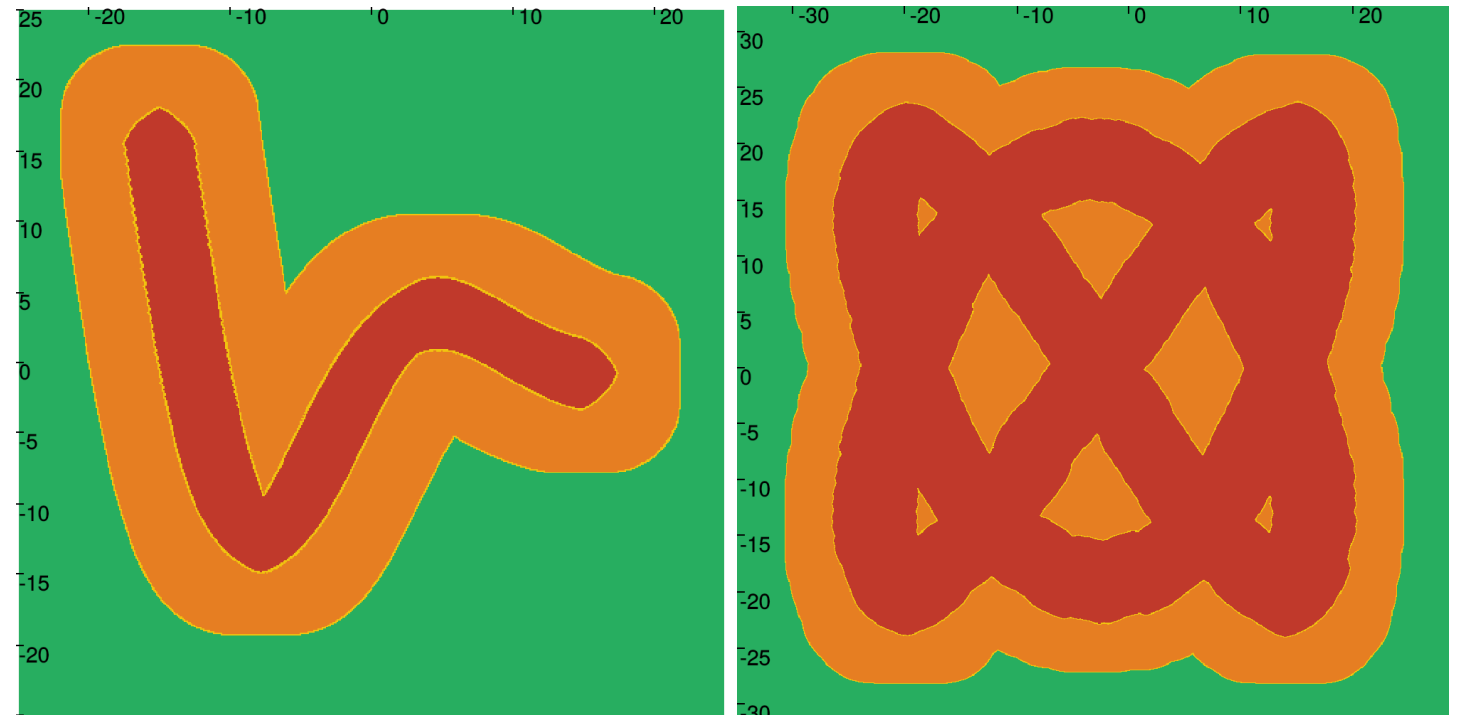
- Algorithme inversion ensembliste SIVIA
- Recursif condition d'arrêt sur taille boîte (aire jaune)
- Sépare les domaines :
  - IN : Rouge
  - OUT : Orange
  - EMPTY : Vert
  - UNKNOWN : Jaune



## Couverture de la cartographie

### Couverture

- Union ensembles le long de la trajectoire
- Obtient couverture cartographique
- Prends du temps de calcul, d'où post-processing



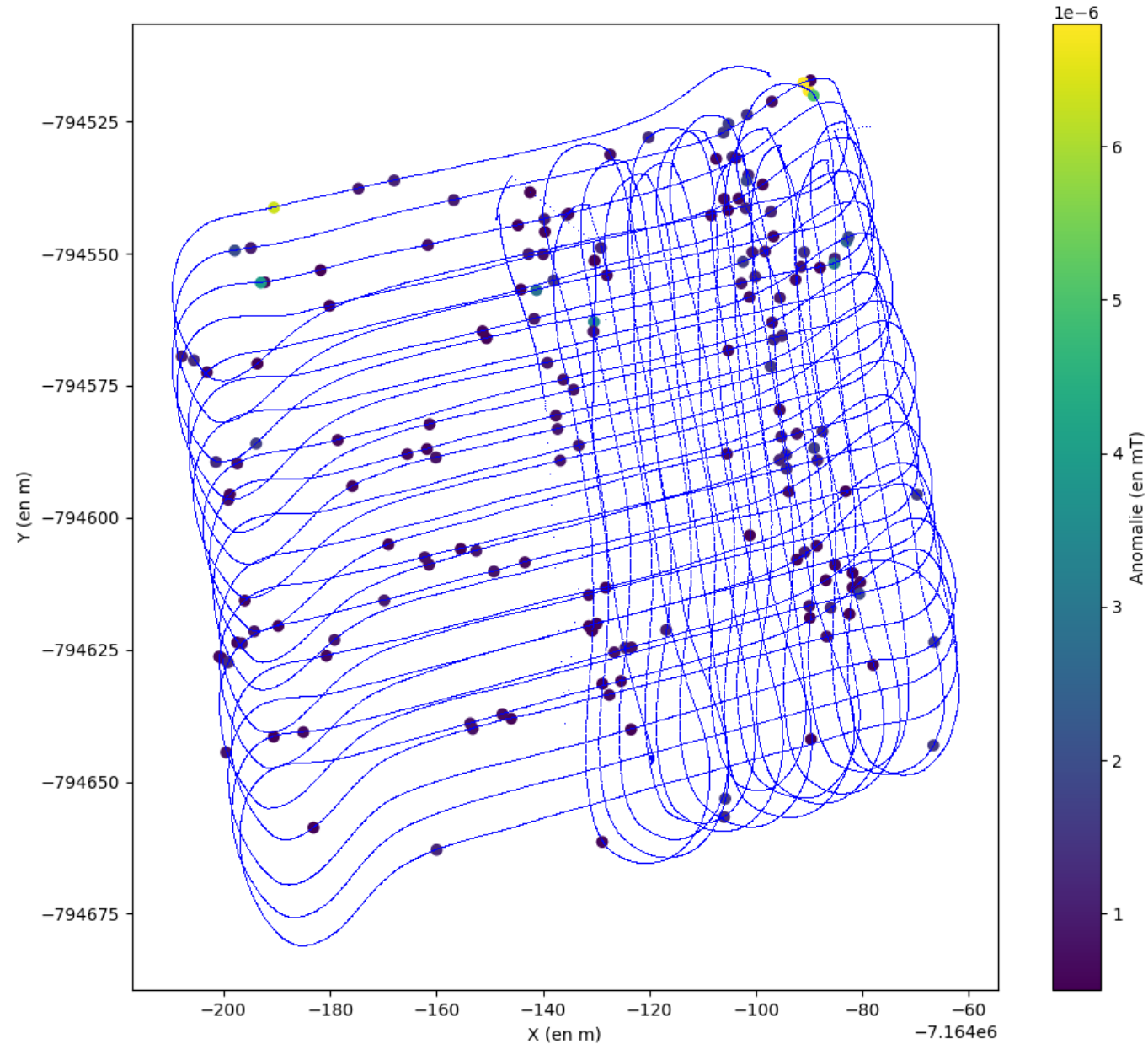


# Expérimentations et résultats

## Expérimentations



# Résultats



# Conclusion